# 4-4 非線形オプティクスの最適化(下崎)

# (前半)非線形オプティクスの最適化とは

(後半)電子蓄積リングにおける非線形オプティクスの設計例

# 前半の概要:

- 1 非線形オプティクス設計とは
  - ・ビーム安定領域とは何か
  - ・なぜビーム安定領域ができるのか
  - ・なぜビーム安定領域を広げないといけないのか

- 2 六極磁場が誘起する諸現象
  - ・なぜ六極磁場が必要なのか
  - ・なぜ六極磁場がビーム安定領域を狭めるのか
  - ・非線形共鳴について
  - ・振幅依存チューンについて
  - ・非線形分散関数と非線形クロマティシティについて

# 後半の概要

- 1 非線形オプティクス補正の方法について
- 2 非線形共鳴と振幅依存チューンを補正したら 入射効率が良くなった話(まずはお話のベースとして)
- 3 更に非線形共鳴と振幅依存チューンを補正したら 入射効率が悪化した話(振幅依存center shiftの補正について)
- 4 更にスキュー六極磁場が励起する非線形共鳴を ノーマル六極磁場で回避して入射効率が良くなった話
- 5 極低エミッタンス化に向けてのストラテジー

# 非線形オプティクス設計とは

#### ラティス設計とは:

ビームを高品質に保つために、偏向磁石・四極磁石・六極磁石などを、どれくらいの磁場強度で、どのような配置に並べるかを検討すること

<u>ラティスとは</u>:磁石の並びのこと

#### 線形オプティクス設計とは:

- ・ラティスは変えない(既にある状態)。
- ・線形磁場(=四極磁場と偏向磁場)を 調整してチューン、ラティス関数など を決める。
- ・運転の基準点を作ることに相当。

#### 今回のお話

#### 非線形オプティクス設計:

- ・ラティスは変えない(既にある状態)。
- ・非線形磁場(今回は六極磁場)を 調整して、ビーム安定領域 (ダイナミックアパーチャー、 モーメンタムアパーチャー) を広げる。
- ・ビームや加速器にエラーがあっても 安定に運転できるようにするのが目的。

# なぜ加速器調整を行うのか

- (1) ユーザー実験の条件を変えないために
  - ・ ビーム強度の安定化
  - ・ ビーム軌道の安定化
  - ・ ビーム形状の安定化

などを行う(ビームの再現性)

- (2) ビームロスは
  - ・機器の故障
  - ・機器の放射化

を招くので、

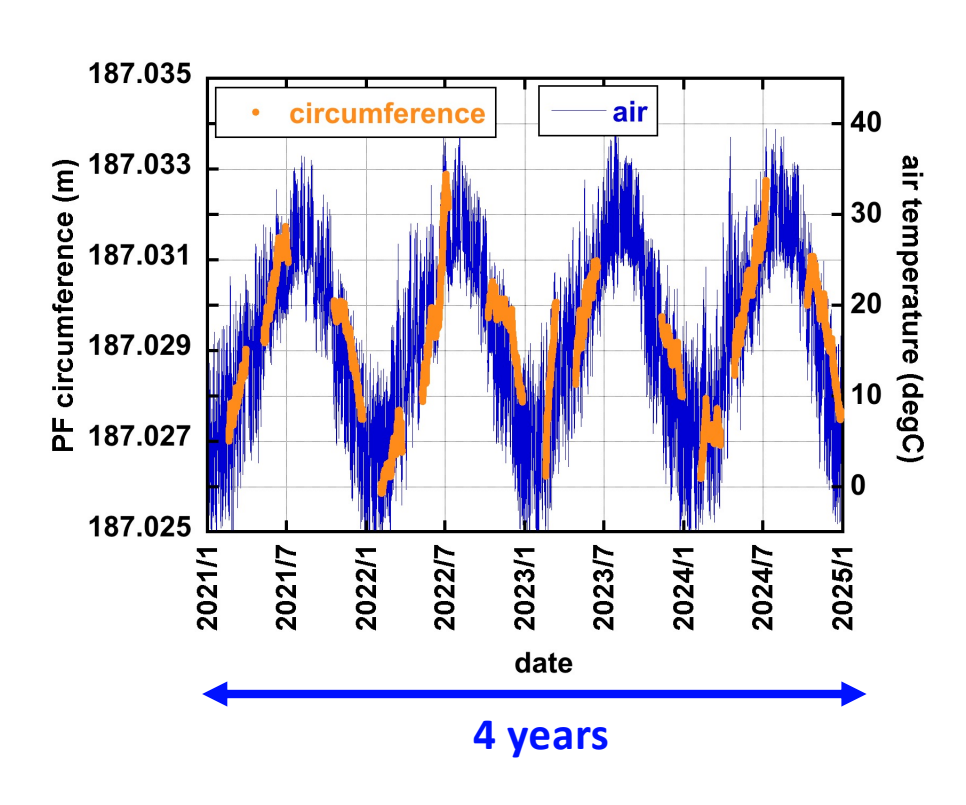
- ・ ビームロスの抑制
- ・ビームロス発生箇所の局所化

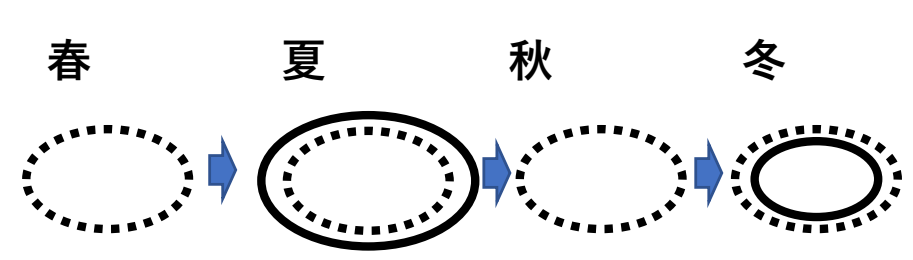
などを行う

- (3) 加速器の高度化に向けた試験を行う
  - ・ ビームサイズの低減や成形
  - ・ ビーム電流の増強
  - ・ 運転経費の低減
  - ・「故障による運転停止時間」の低減 など

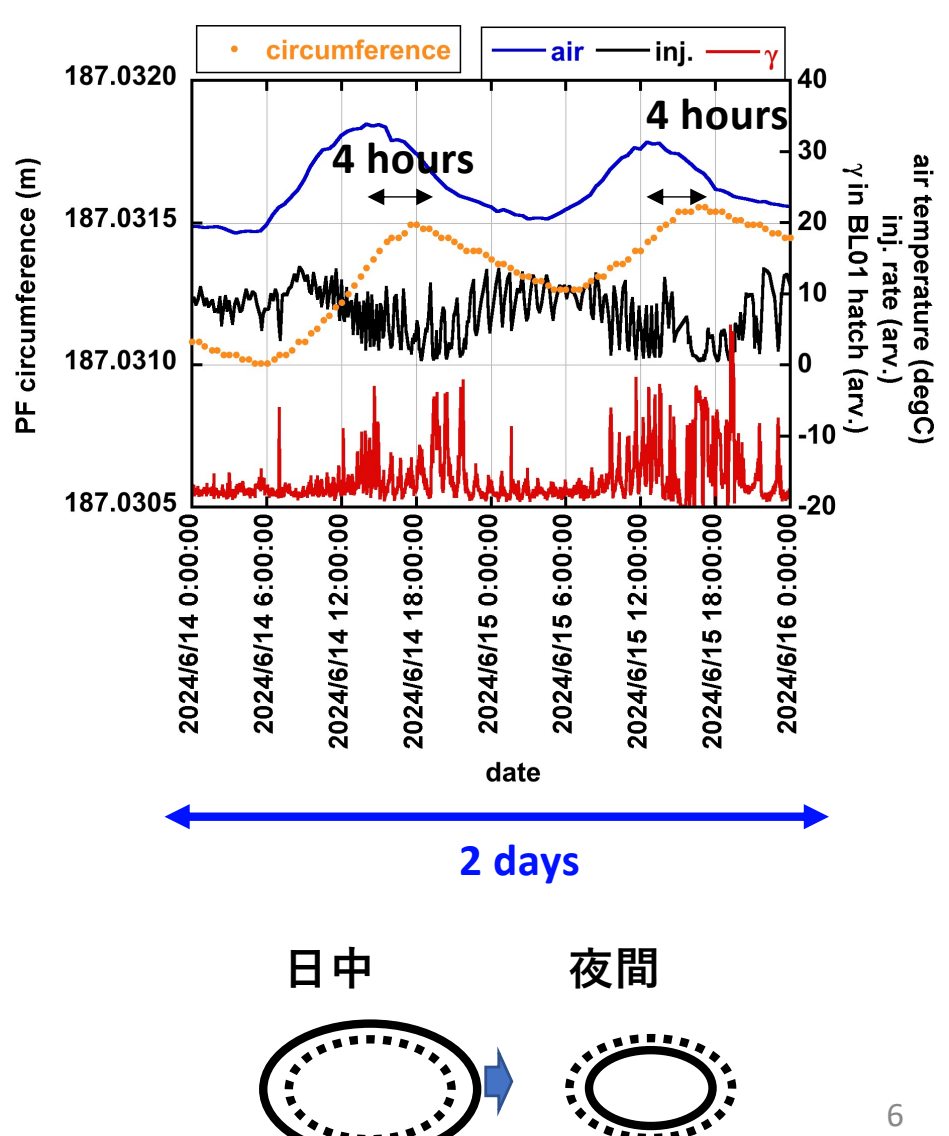
# 気温によるPFリングの変形

#### 気温の変化でリングの形状が変わる





リングの変形でビームが入らなくなる → ユーザー実験の再現性のために 加速器調整が必要

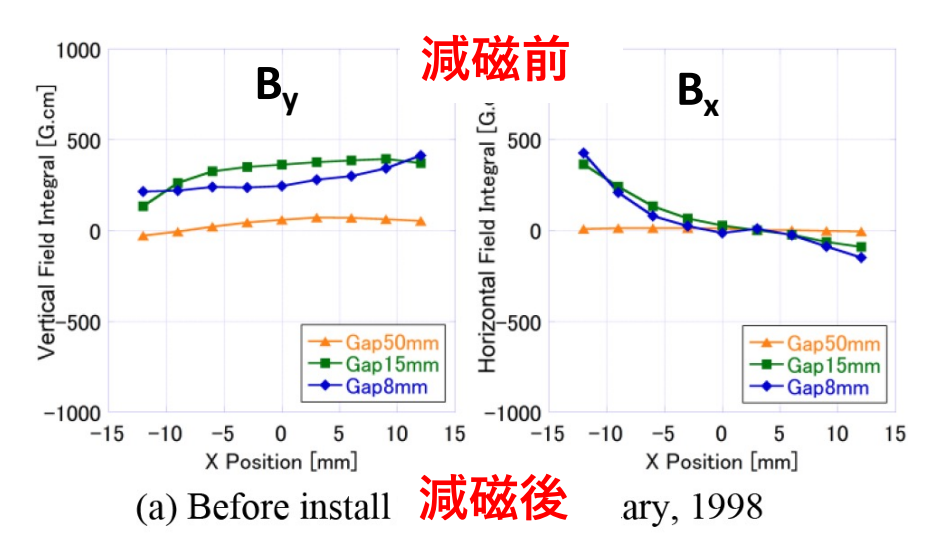


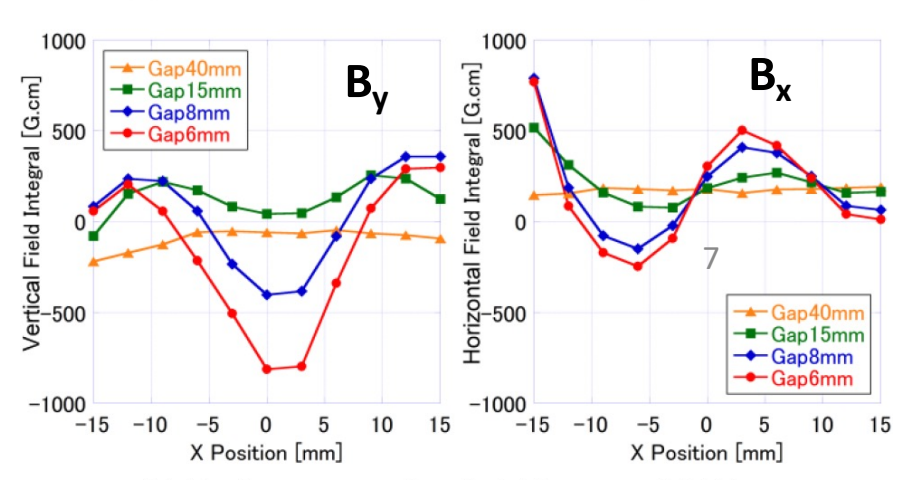
# ビームロス制御の必要性

ビームロスは機器の熱的損傷、放射線損傷、放射化を引き起こす。 ビームロスの制御は重要な課題。

#### 挿入光源(ID10)の減磁@ SPring-8

長谷川照晃、第12回日本加速器学会, THP023.

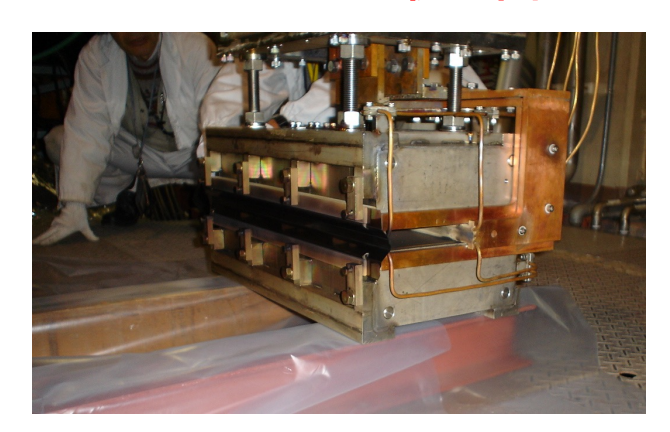




(b) Before correction in February, 2015 減磁するとユーザーの欲しい光が出ない

機器の放射化

KEK-PSブースターの取り出しセプタム



故障時、下崎は写真撮影係として同行。

→ 30分で放射線バッジから警告音 (1ヶ月分のリミットオーバー)

では作業担当者の負担は?

放射化すると壊れても触れない =修理できない ビームロスを抑制し放射化を避ける必要。

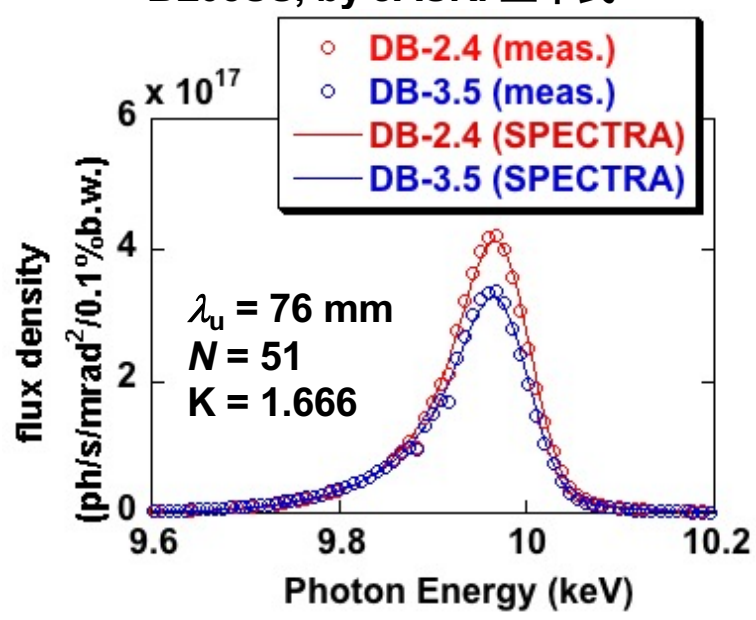
# SPring-8: 第3世代大型放射光施設

#### **Storage Ring Design Parameters @ 8 GeV**

	DB-3.5 ~ May 2013	DB-2.4 Present
Natural Emittance	3.49 nm.rad	2.41 nm.rad
σ <sub>E</sub> / E	0.11 %	
Betatron Tune	( 40.14 , 19.35 )	( 41.14 , 19.35 )
Natural Chromaticity	( -88 , -42 )	( -117 , -47 )

#### フラックス密度測定

BL05SS, by JASRI 正木氏



DB-3.5の入射効率:90 %

#### 非線形オプティクス DB-2.4の入射効率改善の履歴 最適化を適用

チューニング開始時の積上入射効率

振幅依存チューン補正

ハーモニック六極調整(beam-based) **57** % → 入射バンプ・セプタム磁石 蹴角調整 74 %

→ 六極磁石再調整 (応答関数 + CETRA) 84 % → 入射軌道調整 89 %

六極磁石再々調整 94 %まで達成

> 入射効率が悪い=ビームロスが多い ユーザー運転を維持できない

34 %まで改善

8 %

# なぜ加速器調整を行うのか

- (1) ユーザー実験の条件を変えないために
  - ・ ビーム強度の安定化
  - ・ ビーム軌道の安定化
- オプティクス ・ ビーム形状の安定化

最適化が必要 などを行う(ビームの再現性)

- 非線形 オプティクス 最適化が必要
- (2) ビームロスは
  - ・機器の故障
  - ・機器の放射化

を招くので、

- ・ ビームロスの抑制
- ・ビームロス発生箇所の局所化

などを行う

- ── (3)加速器の高度化に向けた試験を行う
  - ・ ビームサイズの低減や成形
  - ・ ビーム電流の増強
  - ・ 運転経費の低減
  - ・ 「故障による運転停止時間」の低減 など

# 前半の概要:

- 1 非線形オプティクス設計とは
  - ・ビーム安定領域とは何か
  - ・なぜビーム安定領域ができるのか
  - ・なぜビーム安定領域を広げないといけないのか

- 2 六極磁場が誘起する諸現象
  - ・なぜ六極磁場が必要なのか
  - ・なぜ六極磁場がビーム安定領域を狭めるのか
  - ・非線形共鳴について
  - ・振幅依存チューンについて
  - ・非線形分散関数と非線形クロマティシティについて

# 非線形オプティクス設計とは

#### ラティス設計とは:

ビームを高品質に保つために、偏向磁石・四極磁石・六極磁石などを、どれくらいの磁場強度で、どのような配置に並べるかを検討すること

<u>ラティスとは</u>:磁石の並びのこと

#### 線形オプティクス設計とは:

- ・ラティスは変えない(既にある状態)。
- ・線形磁場(=四極磁場と偏向磁場)を 調整してチューン、ラティス関数など を決める。
- ・運転の基準点を作ることに相当。

#### 今回のお話

#### 非線形オプティクス設計:

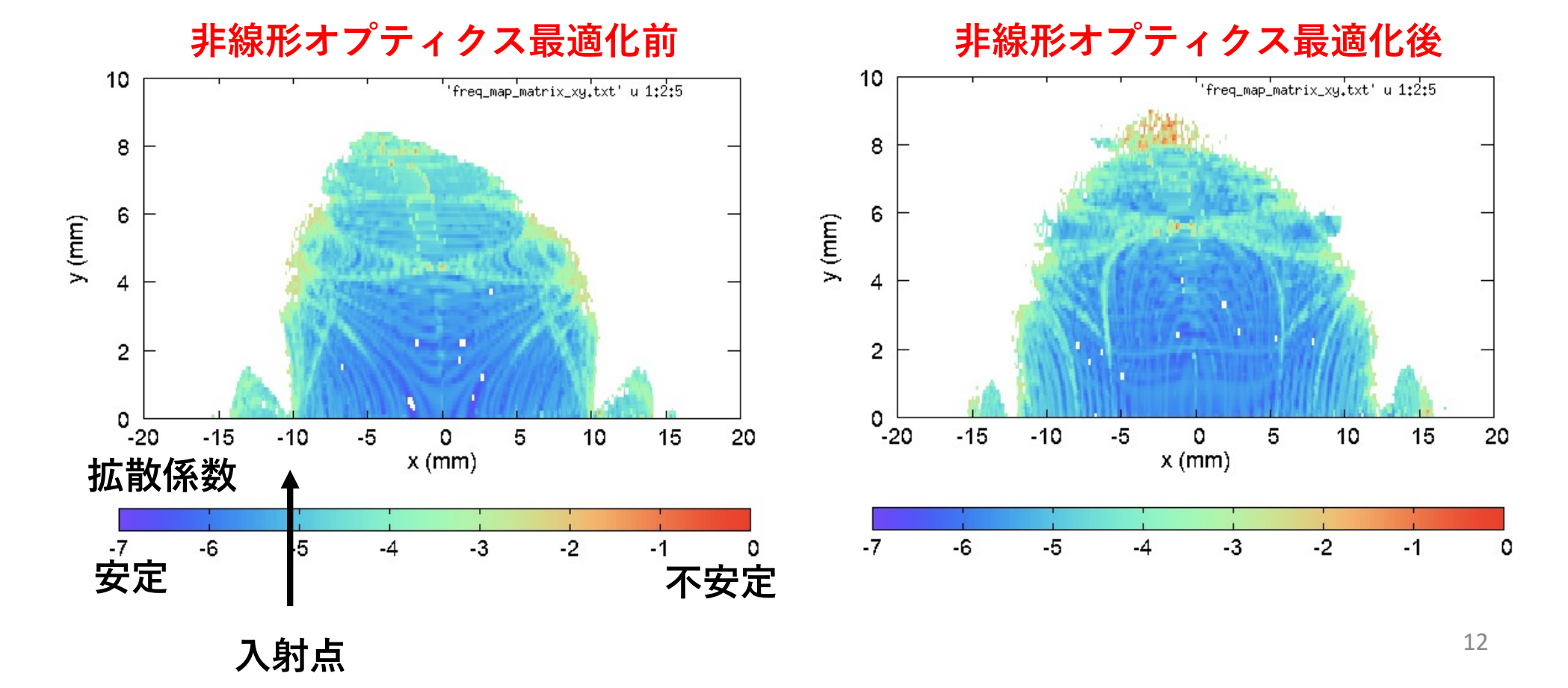
- ・ラティスは変えない(既にある状態)
- ・非線形磁場(今回は六極磁場)を 調整して、ビーム安定領域 (ダイナミックアパーチャー、 モーメンタムアパーチャー) を広げる。
- ・ビームや加速器にエラーがあっても 安定に運転できるようにするのが目的。

# ビーム安定領域について(1/2)

<u>X-Y空間のビーム安定領域</u> (ダイナミックアパーチャー)

色のついたところが安定領域。白いところはビームが存在できない領域。 = 色のついたところにビームを入射しないと、ビームは失われる。

ただし赤色に近づくほど不安定 = エラーの大きさによっては不安定領域に転じる可能性。



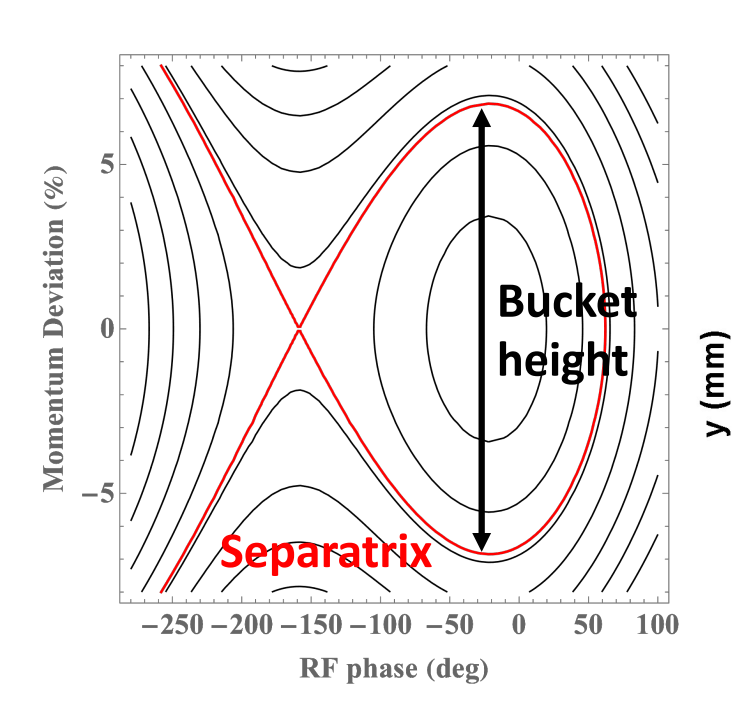
# ビーム安定領域について(2/2)

#### <u>モーメンタムアクセプタンス(1/2)</u>

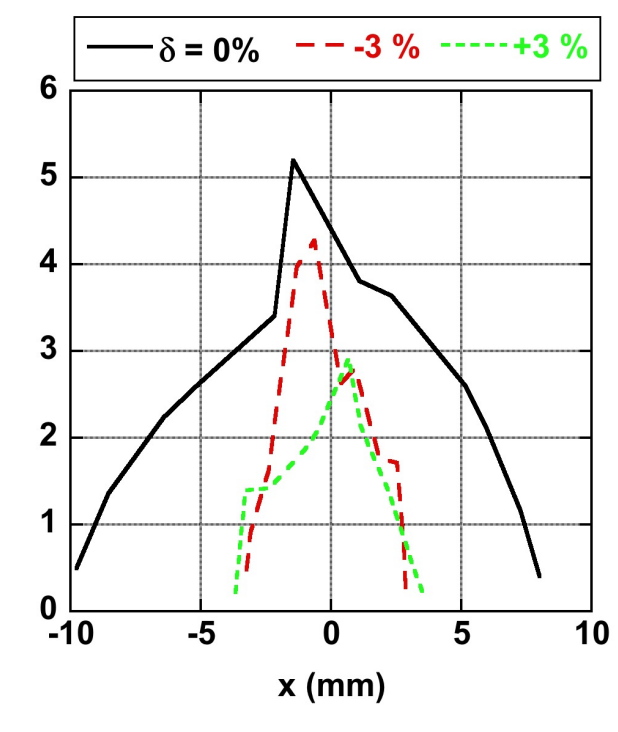
- ・シンクロトロン振動で決まるモーメンタムアクセプタンス
- ・ベータトロン振動で決まるモーメンタムアクセプタンス

の狭い方が支配的となる

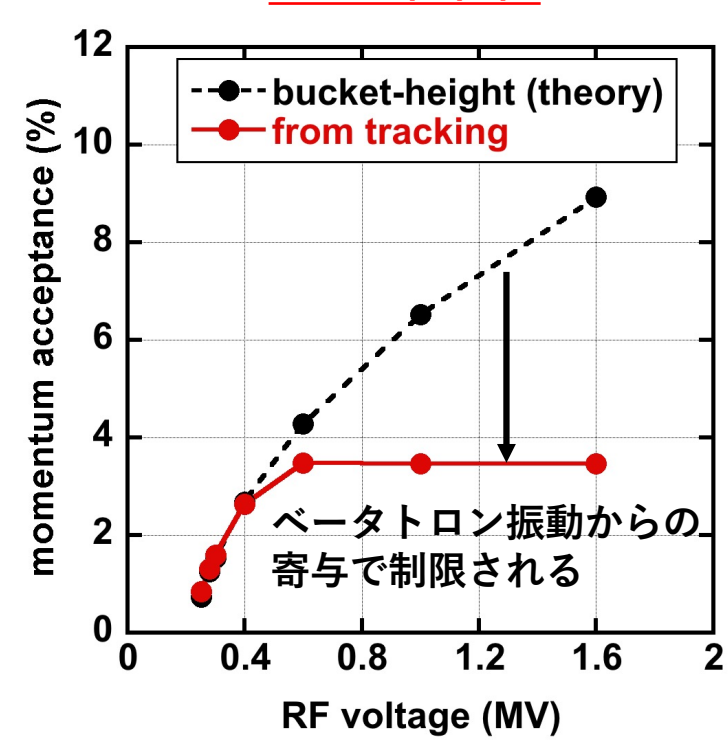
#### <u>シンクロトロン振動で決まる</u> モーメンタムアクセプタンス



#### <u>ベータトロン振動で決まる</u> モーメンタムアクセプタンス



#### <del>モーメンタムアクセプタンスの</del> RF電圧依存性



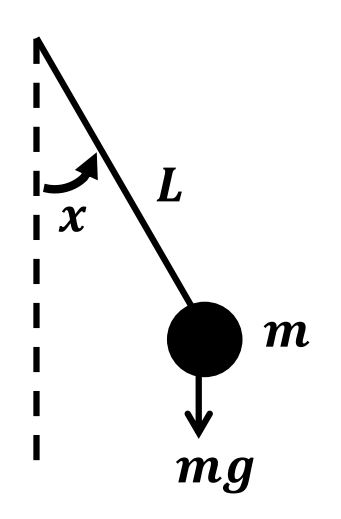
# 前半の概要:

- 1 非線形オプティクス設計とは
  - ・ビーム安定領域とは何か
  - ・なぜビーム安定領域ができるのか
  - ・なぜビーム安定領域を広げないといけないのか

- 2 六極磁場が誘起する諸現象
  - ・なぜ六極磁場が必要なのか
  - ・なぜ六極磁場がビーム安定領域を狭めるのか
  - ・非線形共鳴について
  - ・振幅依存チューンについて
  - ・非線形分散関数と非線形クロマティシティについて

# なぜビーム安定領域ができるのか:振り子の運動から(1/4)

#### 運動方程式



$$\frac{dx}{dt} = v$$

$$\frac{dv}{dt} = -\omega_0^2 \sin x$$

$$\omega_0^2 = \frac{g}{L}$$

#### 不動点について

 $\left(\frac{dx}{dt}, \frac{dv}{dt}\right) = (\mathbf{0}, \mathbf{0})$ を満たす点 = 不動点

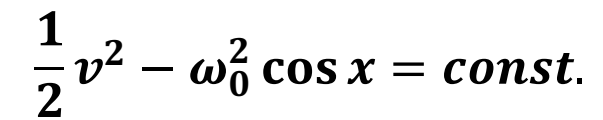
振り子の場合、振り子の場合、

 $(x, \dot{x}) = (0, 0) \dot{x}$   $(x, \dot{x}) = (\pm \pi, 0) \dot{x}$ 安定不動点となる 不安定不動点となる

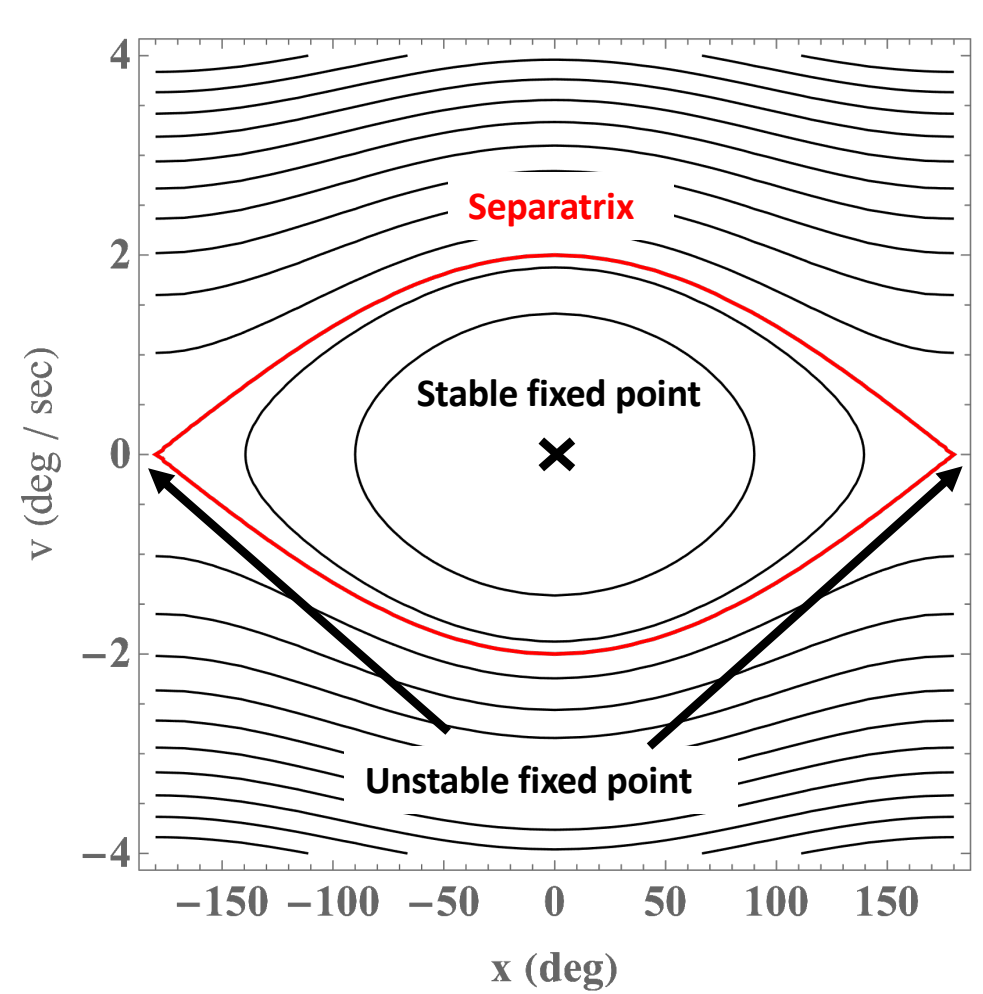


不安定不動点を通る 軌道をセパラトリクス という

#### 位相空間での軌道:



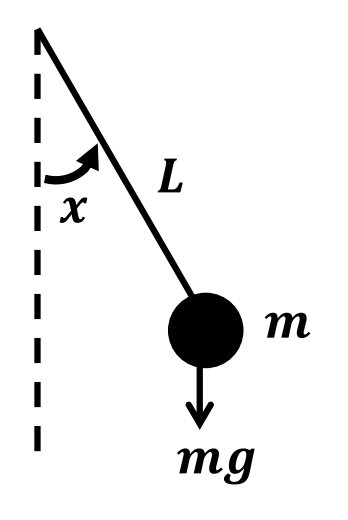
#### 位相空間で見た軌道





# なぜビーム安定領域ができるのか:振り子の運動から(2/4)





$$\frac{dx}{dt} = v$$

$$\frac{dv}{dt} = -\omega_0^2 \sin x$$

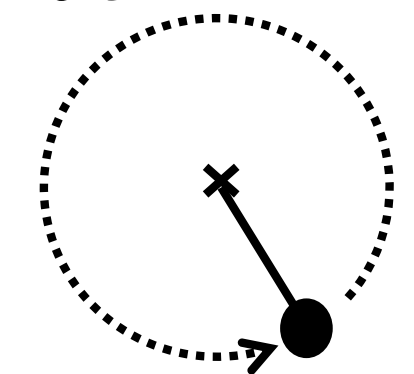
$$\omega_0^2 = \frac{g}{L}$$

### 運動の種類について

セパラトリクスの 内側では振動運動 となる



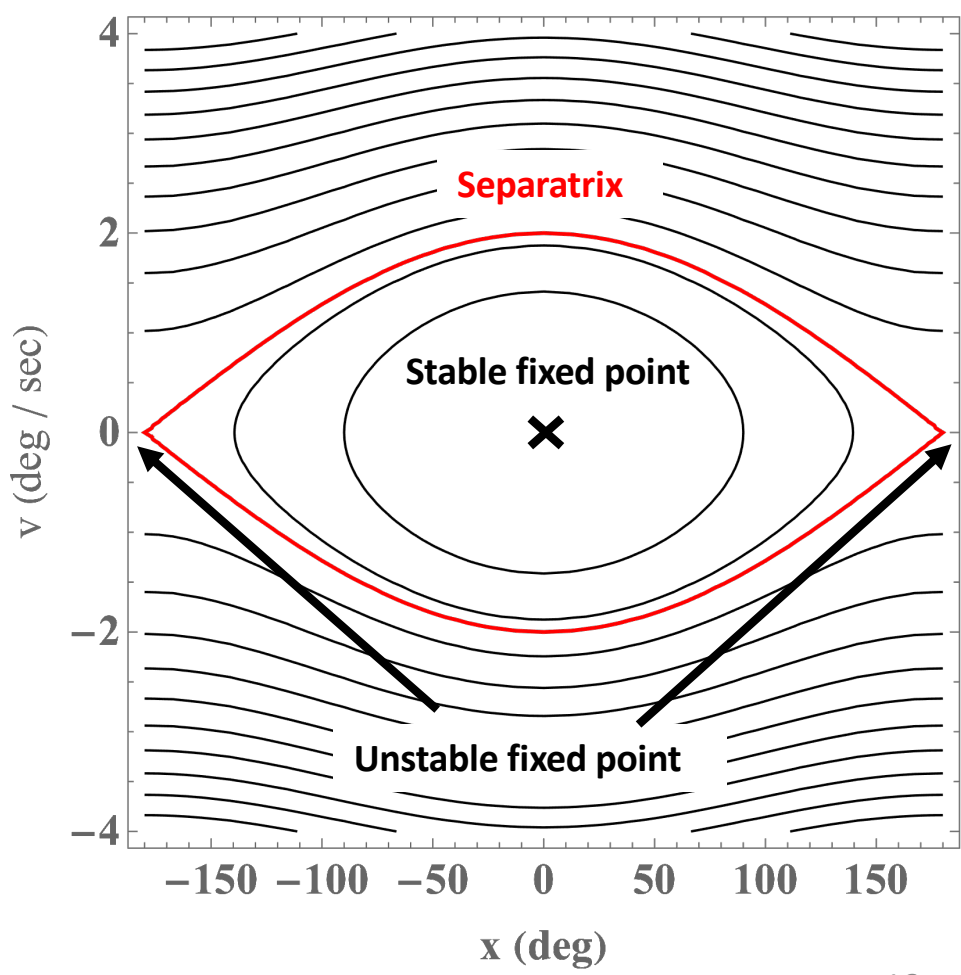
セパラトリクスの 外側では回転運動 となる



#### 位相空間での軌道:

$$\frac{1}{2}v^2 - \omega_0^2 \cos x = const.$$

#### 位相空間で見た軌道



# なぜビーム安定領域ができるのか:振り子の運動から(3/4)

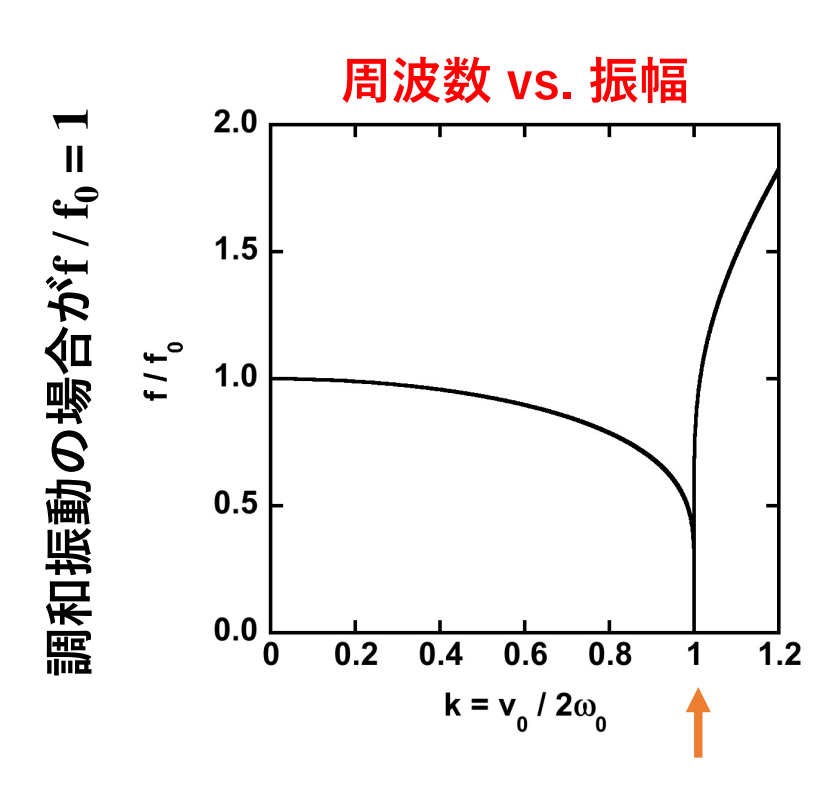
#### 周波数について

・調和振動の場合、 周波数は振幅によらず一定

$$\frac{d^2x}{dt^2} = -\omega_0^2x$$

・振り子の運動の場合、 周波数は振幅に依存する

$$\frac{d^2x}{dt^2} = -\omega_0^2 \sin x$$



振り子の運動の時間発展例 **25th 50th** initial 0.08 0.06 0.06 0.06 0.04 0.04 0.04 0.02 0.02 ΛΕ / Ε (·) 0.02 -0.06  $75t^{\frac{\Delta\phi\,(\text{rad})}{h}}$ Δφ (rad) 200th 0.06 0.06 0.06 0.04 0.04 0.04 0.02 0.02 0.02 VE / E (∙) ΛΕ / Ε (·) -0.02 -0.02 -0.06 -0.08 -4 -3 -2 -1 0 1 2 3 4 -0.08 -4 -3 -2 -1 0 1 2 3 4 500th Δφ (rad) Δφ (rad) 300th 400th 0.06 0.06 0.06 0.04 0.04 0.04 (-) ∃ / ∃∇ 0.02 ΔΕ / Ε (-) 0.02 √E / E (·) 0.02 -0.02 -0.02 -0.04 -0.04-0.06 -0.06 -0.06 -0.08 -4 -3 -2 -1 0 1 -0.08 4 -3 -2 -1 0 1 Δφ (rad) Δφ (rad) Δφ (rad) 複数の振り子の初期値を 変えて位相空間での 軌道を計算したイメージ

セパラトリクス

# なぜビーム安定領域ができるのか:振り子の運動から(4/4)

<u>運動方程式が同じ</u>でも セパラトリクスの<u>内側</u>と<u>外側</u>で挙動が異なる。 = 「初期値依存性」がある。

$$\frac{d^2x}{dt^2} = -\omega_0^2 \sin x \quad \Longrightarrow \quad \frac{d^2x}{dt^2} + \omega_0^2 x = -\frac{\omega_0^2}{6} x^3 + \cdots$$

振り子の運動と同様、 <u>非線形磁場がある時のビーム運動</u>も<mark>初期値依存性</mark>が有る。

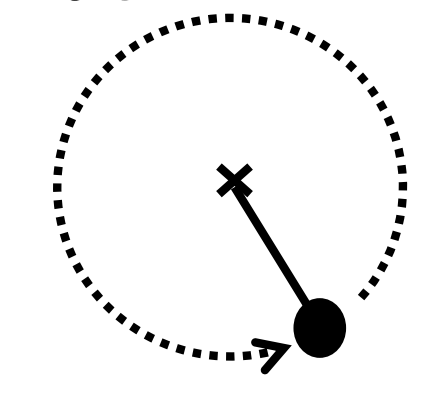
= ビームの存在できる領域(ビーム安定領域)と ビームの存在できない領域ができる

#### 運動の種類について

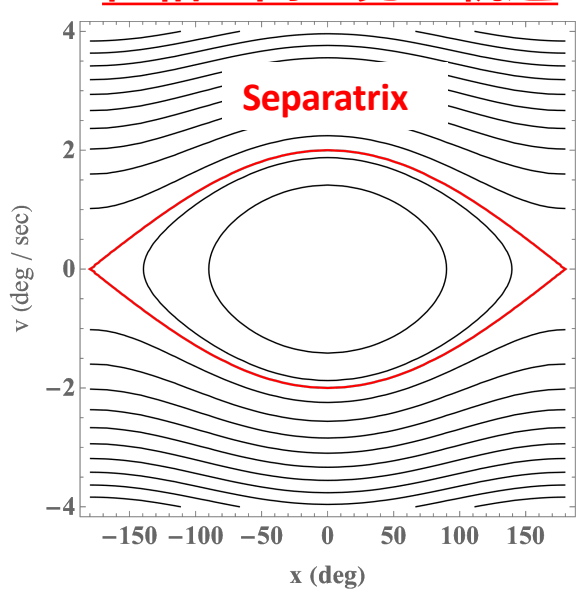
セパラトリクスの 内側では振動運動 となる

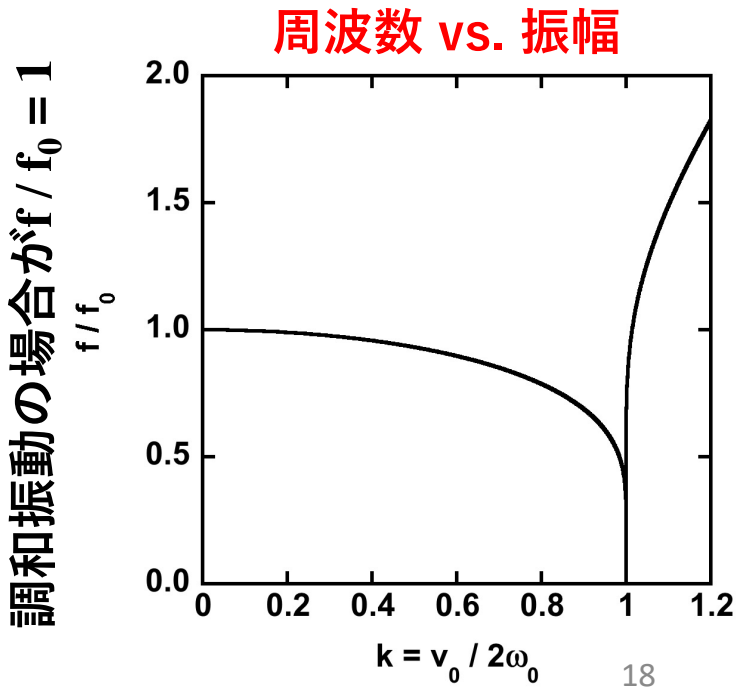
セパラトリクスの 外側では回転運動 となる





#### 位相空間で見た軌道





# 前半の概要:

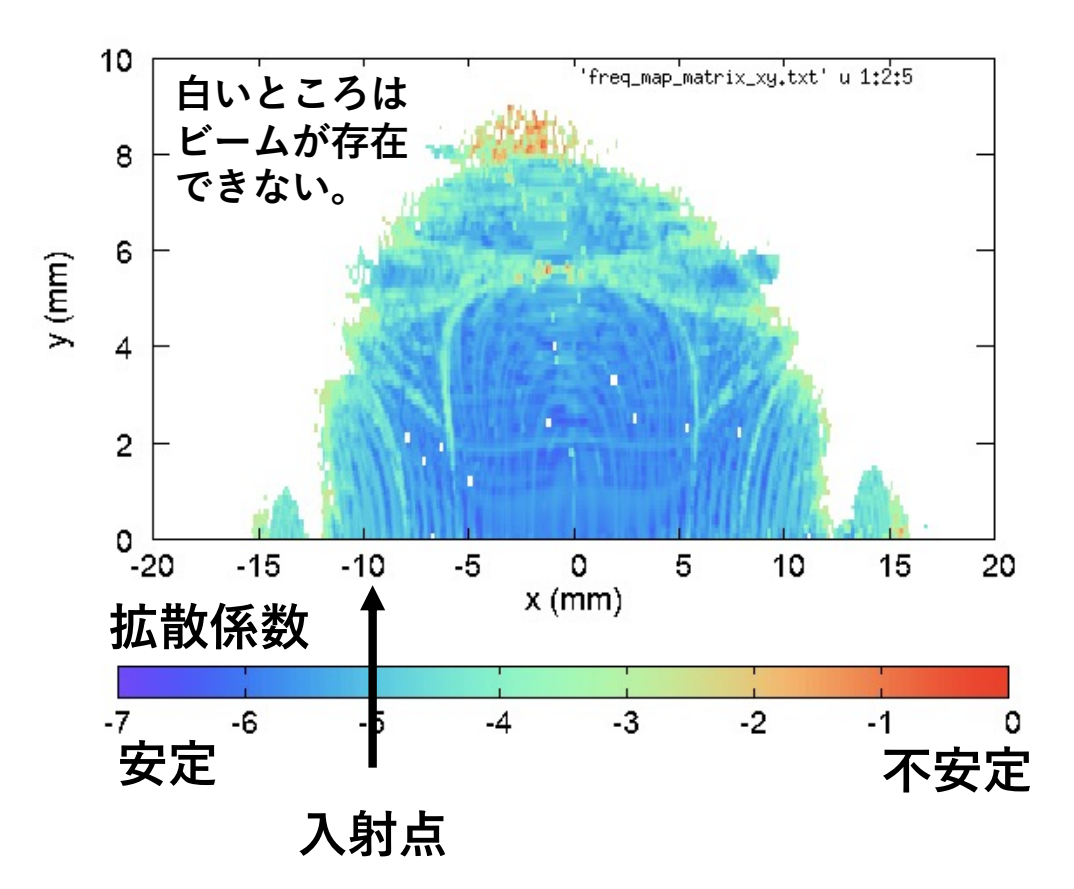
- 1 非線形オプティクス設計とは
  - ・ビーム安定領域とは何か
  - ・なぜビーム安定領域ができるのか
  - ・なぜビーム安定領域を広げないといけないのか

- 2 六極磁場が誘起する諸現象
  - ・なぜ六極磁場が必要なのか
  - ・なぜ六極磁場がビーム安定領域を狭めるのか
  - ・非線形共鳴について
  - ・振幅依存チューンについて
  - ・非線形分散関数と非線形クロマティシティについて

# ビーム安定領域拡張の必要性(1/3)

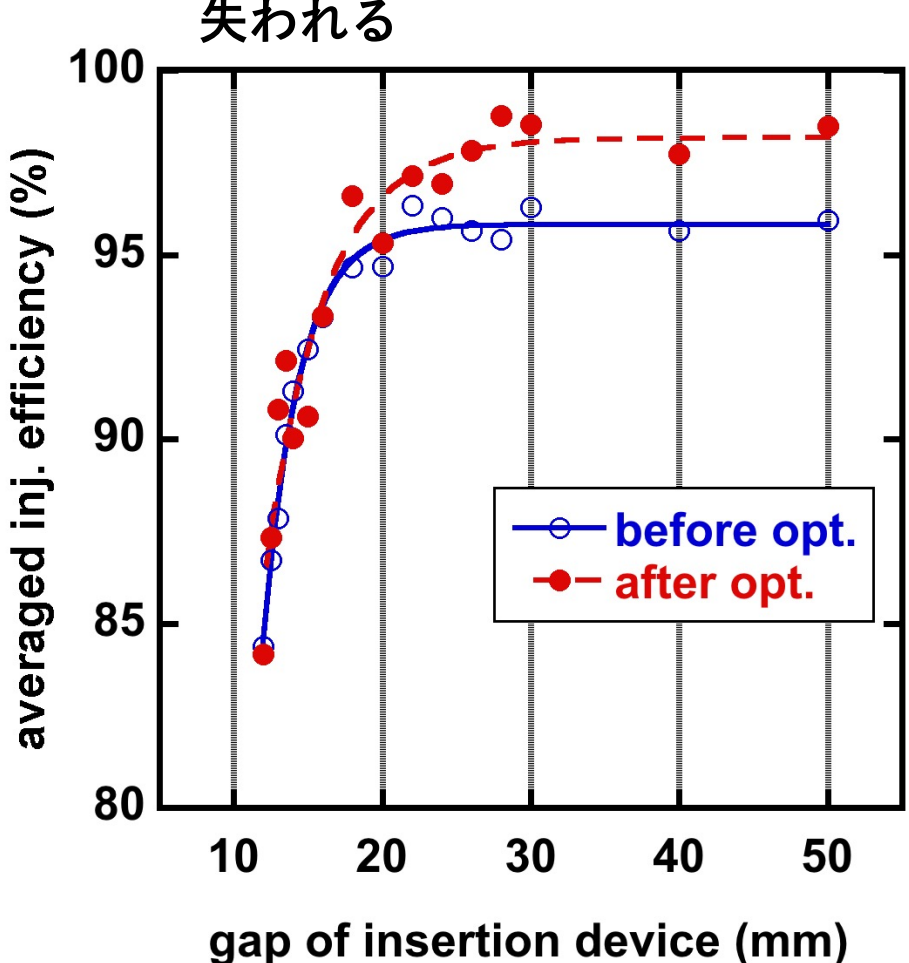
#### <u>X-Y空間のビーム安定領域</u> (ダイナミックアパーチャー)

色のついたところが安定領域 ただし赤色に近づくほど不安定 =条件によっては不安定領域に転じる可能性



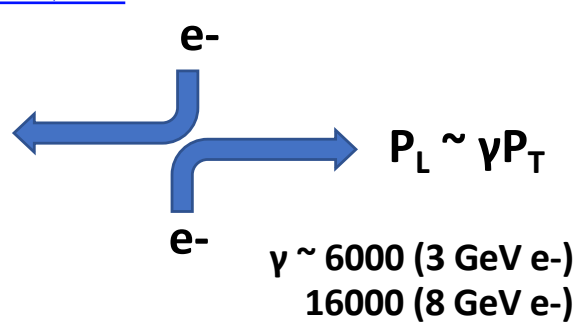
#### 入射効率 (測定値)

ダイナミックアパーチャーの 内側に入射しないとビームが 失われる



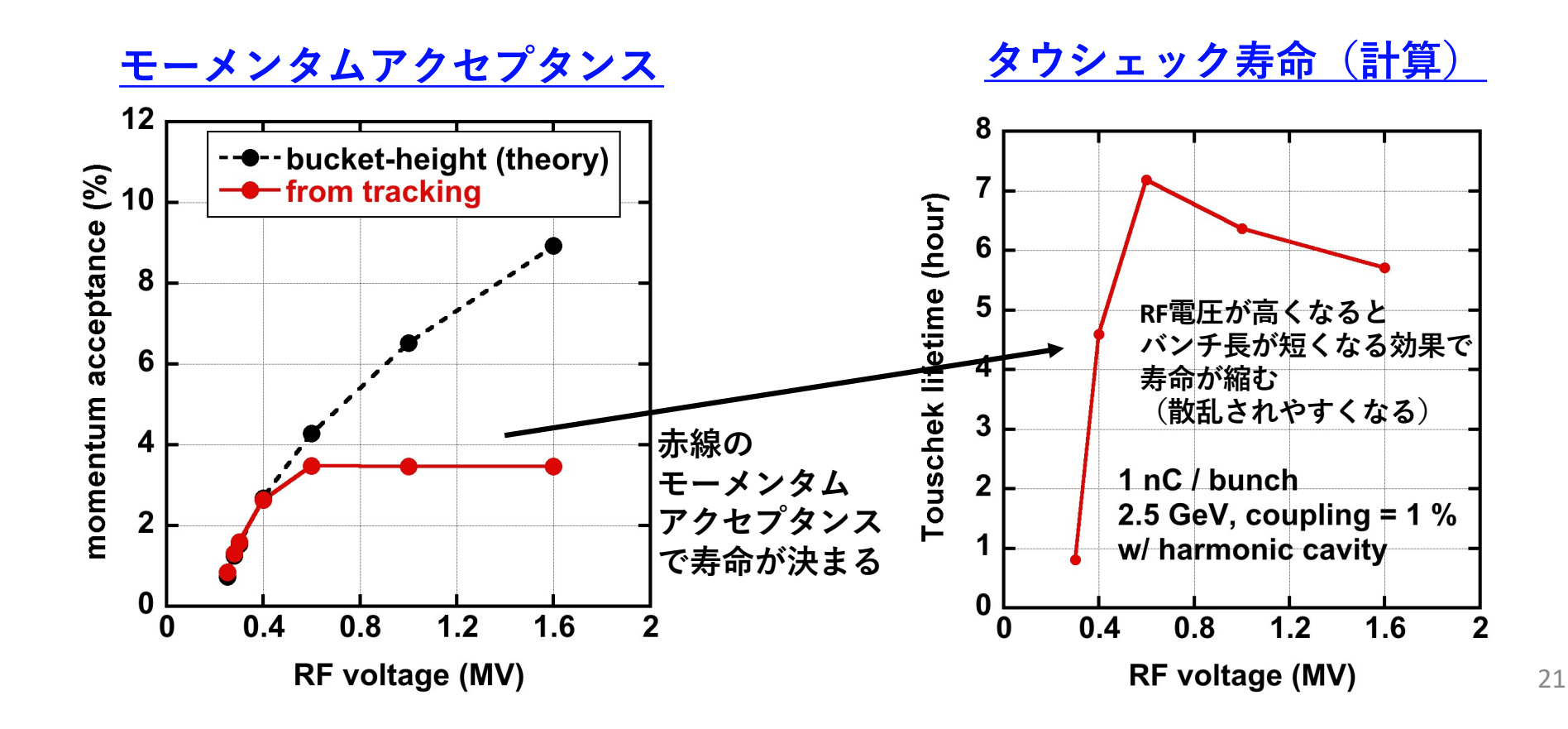
# ビーム安定領域拡張の必要性(2/3)

バンチ内の散乱で電子ビームの横方向運動量(P<sub>τ</sub>)が 縦方向の運動量(P<sub>L</sub>)に変換されると、相対論効果でγ倍になる。



P<sub>L</sub>がモーメンタムアクセプタンスを超えると ビームが失われる(<mark>タウシェック寿命</mark>)。

蓄積電流: $I = I_0 e^{-\frac{t}{\tau}}$ 



# ビーム安定領域拡張の必要性(3/3)

蓄積リング型放射光施設では、電子ビームが寿命を持っている。

蓄積電流:

$$I = I_0 \exp\left(-\frac{t}{\tau}\right)$$

→ 蓄積電流が一定値以下に減少したら、ユーザー運転を継続しながら 継ぎ足し入射(=トップアップ入射)を行う。

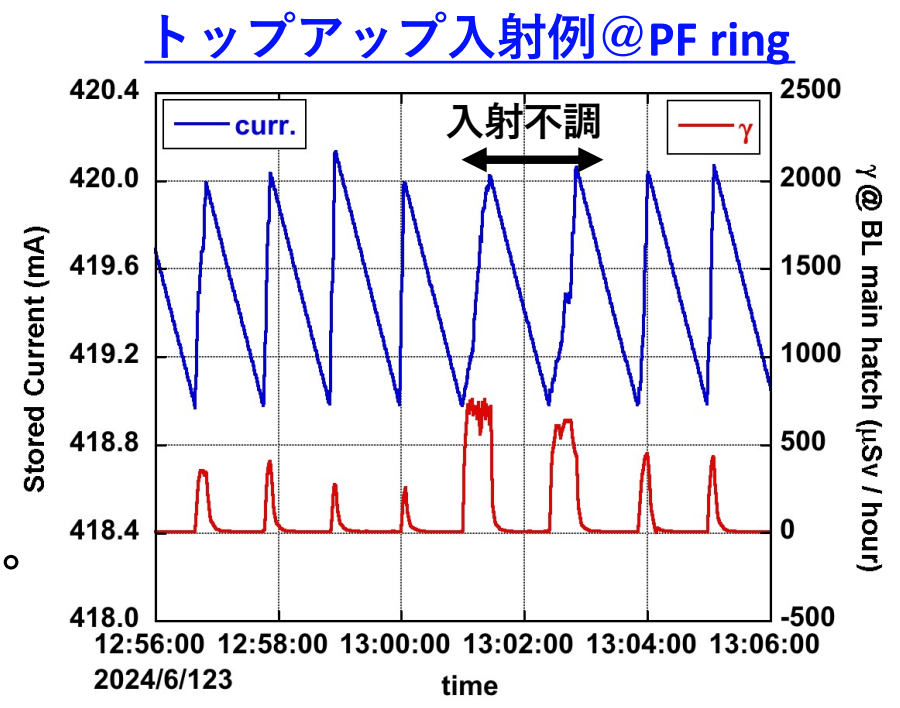
トップアップ入射は、蓄積リング型放射光施設において 必要不可欠な運転形態である。

ただし安定領域が狭いとトップアップ入射の際に ビームロスを生じて

- ・<u>放射線</u>の問題(人的防護、環境の放射化)
- ・<u>機器損傷</u>の問題(熱的損傷、放射線損傷) を生じうる。



安定にユーザー運転を行うために ビームの存在できる安定領域を拡張する必要がある。



# 前半の概要:

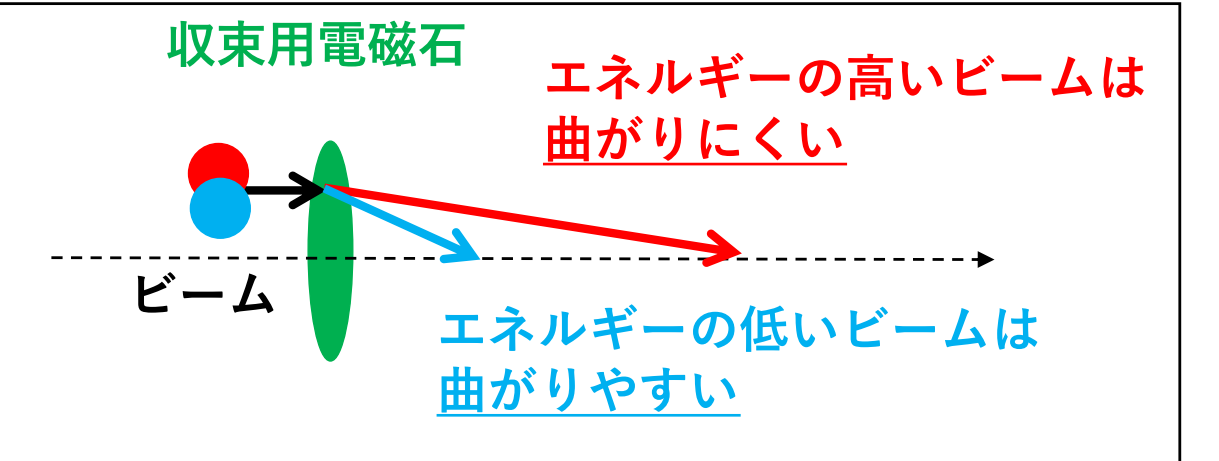
- 1 非線形オプティクス設計とは
  - ・ビーム安定領域とは何か
  - ・なぜビーム安定領域ができるのか
  - ・なぜビーム安定領域を広げないといけないのか

- 2 六極磁場が誘起する諸現象
  - ・なぜ六極磁場が必要なのか
  - ・なぜ六極磁場がビーム安定領域を狭めるのか
  - ・非線形共鳴について
  - ・振幅依存チューンについて
  - ・非線形分散関数と非線形クロマティシティについて

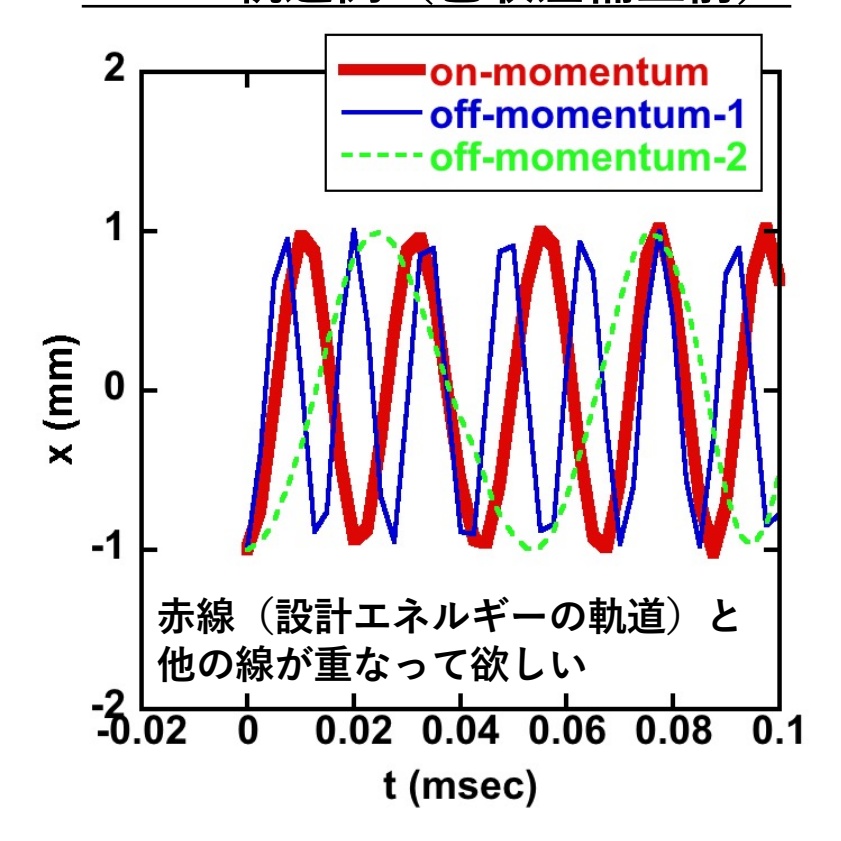
#### 相対論領域の場合

# なぜ六極磁石が必要か(1/2)

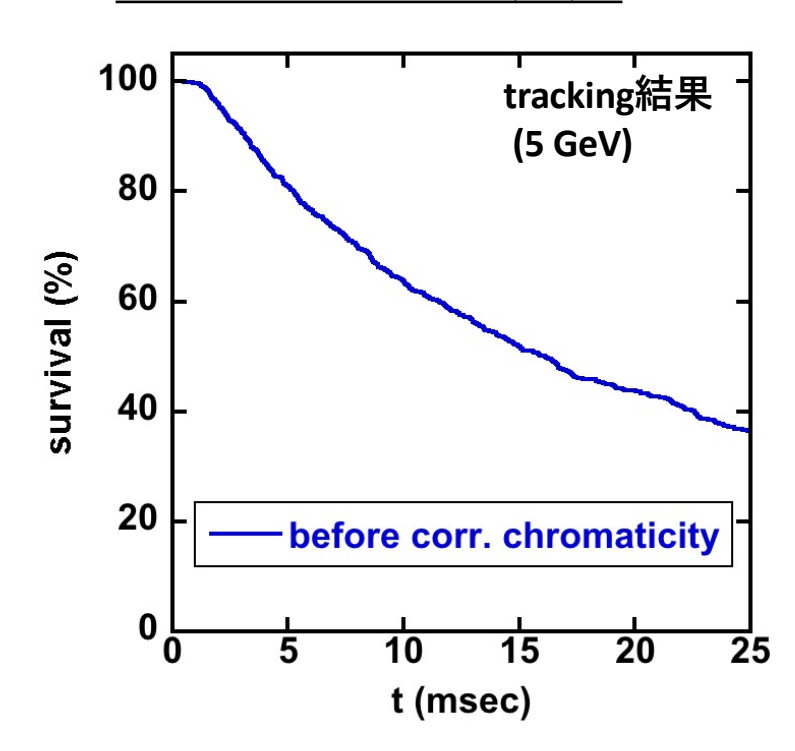
ビームの焦点距離が エネルギーの違いによって 変わる(色収差)。



#### ビーム軌道例(色収差補正前)



#### <u>色収差を補正しない場合の</u> ビームの生存率(例)

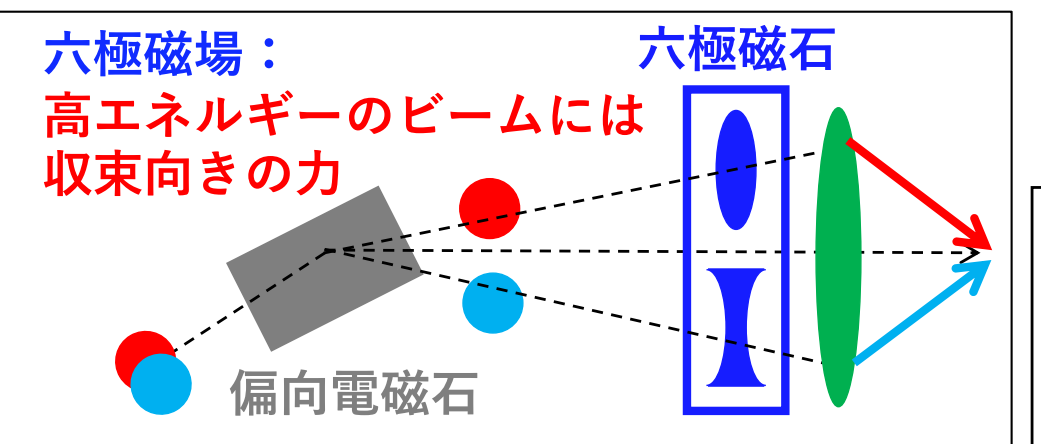


#### 相対論領域の場合

# なぜ六極磁石が必要か(2/2)

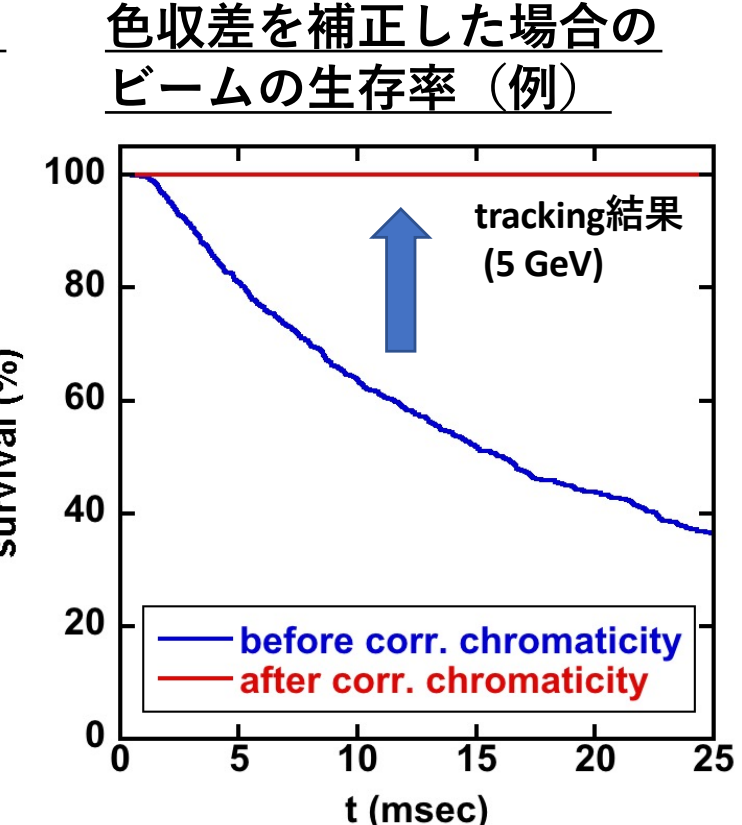
<u>色収差補正</u>: エネルギーの違いを 利用して偏向電磁石で 軌道を分けて <mark>六極磁場</mark>で焦点距離を

補正する。



低エネルギーのビームには発散向きの力

# ビーム軌道例(色収差補正後) on-momentum off-momentum-1 off-momentum-2 survival (%) x (mm) 赤線(設計エネルギーの軌道)と 他の線が重なって欲しい 0.02 0.04 0.06 0.08 0.1 t (msec)



# PFの六極磁石

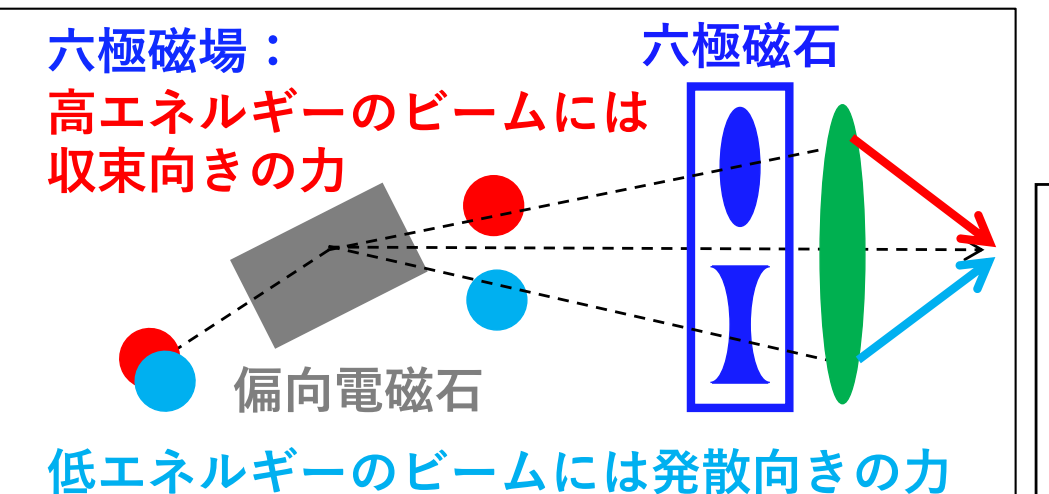
# 六極磁場 $B_y = \frac{B''}{2}(x^2 - y^2)$ $B_x = -B''xy$

#### 相対論領域の場合

# クロマティシティ補正の式

#### 色収差補正:

エネルギーの違いを 利用して偏向電磁石で 軌道を分けて 六極磁場で焦点距離を 補正する。



"natural chromaticity"  $+\frac{1}{4\pi}\int_0^C ds \, k(s)\beta$  (s) $D_x(s)$ = "required chromaticity"

#### PFの六極磁石



#### <u>六極磁場</u>

$$B_y = \frac{B''}{2}(x^2 - y^2)$$

$$B_x = -B''xy$$

$$B_x = -B''xy$$

# 前半の概要:

- 1 非線形オプティクス設計とは
  - ・ビーム安定領域とは何か
  - ・なぜビーム安定領域ができるのか
  - ・なぜビーム安定領域を広げないといけないのか

# 2 六極磁場が誘起する諸現象

- ・なぜ六極磁場が必要なのか
- ・なぜ六極磁場がビーム安定領域を狭めるのか
- ・非線形共鳴について
- ・振幅依存チューンについて
- ・非線形分散関数と非線形クロマティシティについて

# 六極磁場が有る時のベータトロン振動の式

$$B_y = \frac{B''}{2}(x^2 - y^2)$$

$$B_x = -B''xy$$

# ベータトロン振動の式:

六極磁場係数

# ハミルトニアン:

$$H(x,x',y,y';s) = H_0(x,x',y,y';s) + \frac{k(s)}{6}(x^3 - 3xy^2)$$
   
無摂動時の 六極磁場が   
ハミルトニアン 作るポテンシャル

# 六極磁場が誘起する諸現象

(Q<sub>x</sub>, Q<sub>y</sub>):チューン δ:運動量偏差

六極磁場 に対して 1次の式

- 1 1次のクロマティシティ  $(\Delta Q = \xi_0 \delta)$
- 2 非線形共鳴(Q<sub>x</sub> ~ int., 3Q<sub>x</sub> = int., Q<sub>x</sub> ± 2Q<sub>v</sub> ~ int.)
- 3 2次の分散関数( $\Delta x = D_1 \delta^2$ ) H. Tanaka et al., NIMA 431 (1999), 396-408.
- 4 振幅依存center shift
  Y.Shoji, M.Takao, and T.Nakamura, PRSTAB 17 064001 (2014).

六極磁場 に対して 2次の式

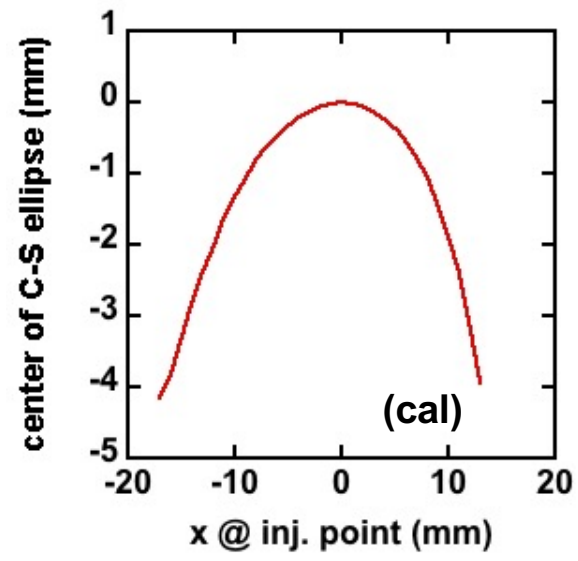
5 振幅依存チューンシフト

K.Soutome and H.Tanaka, PRAB 20, 064001 (2017).

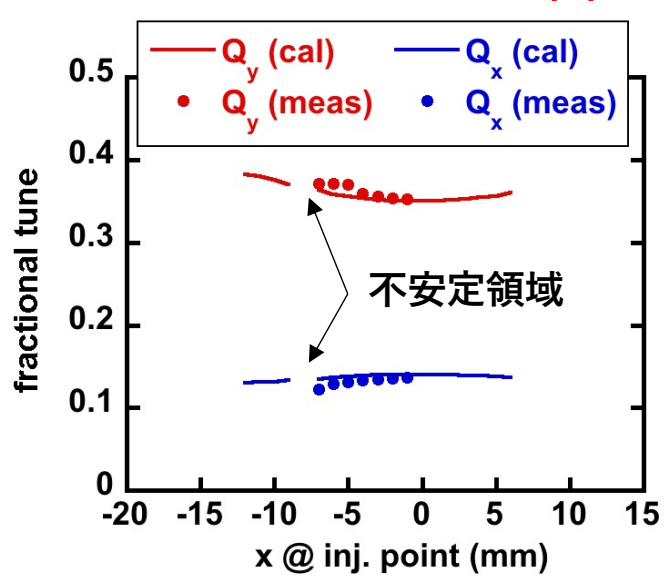
6 2次のクロマティシティ  $(\Delta Q = \xi_1 \delta^2)$ 

M. Takao, PRE 72, 046502 (2005).

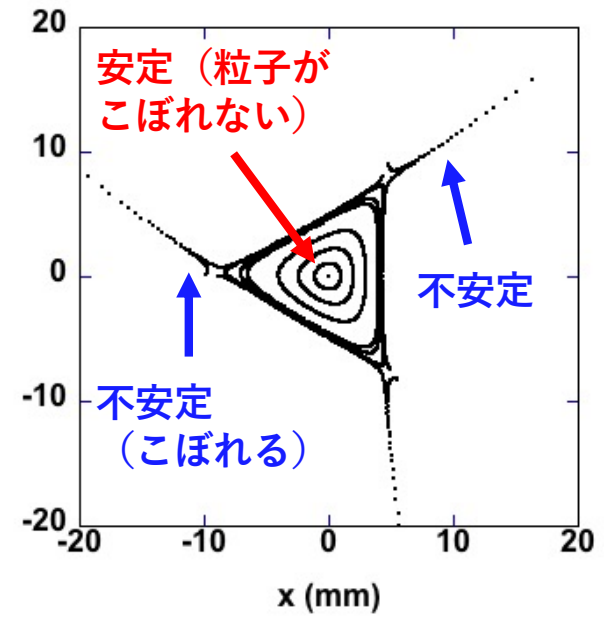




#### 振幅依存チューン(x)

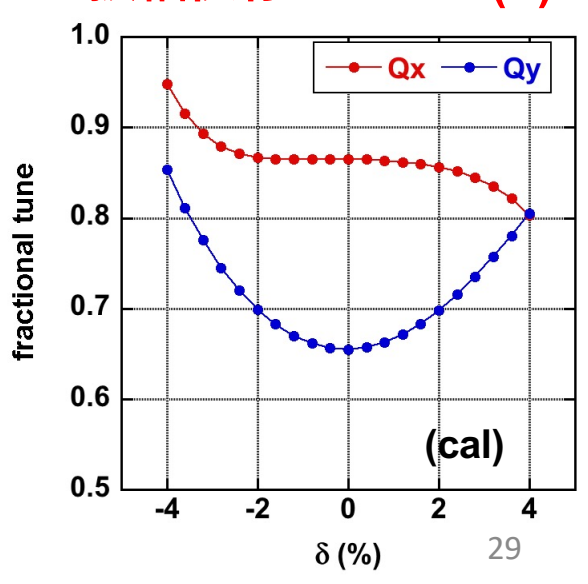


#### 3次共鳴の例



(mrad)

#### 振幅依存チューン(δ)



# 前半の概要:

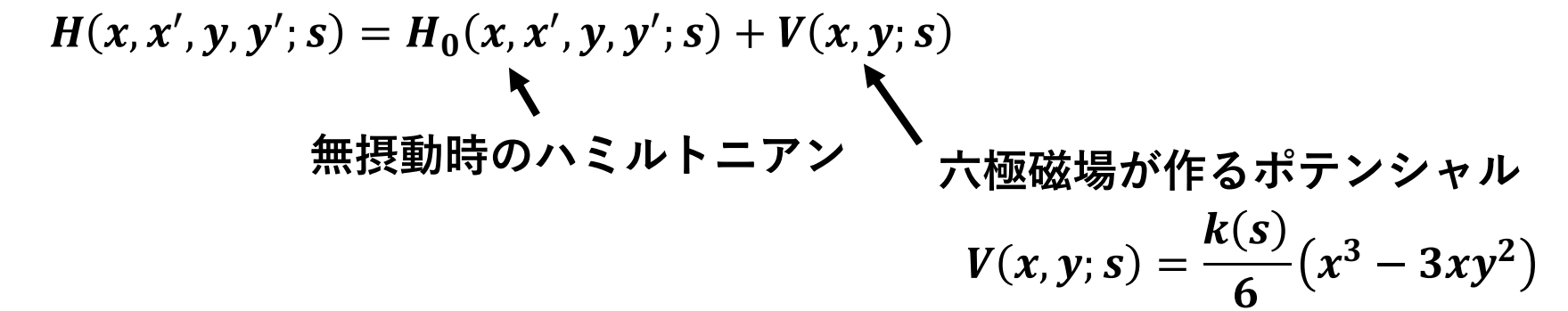
- 1 非線形オプティクス設計とは
  - ・ビーム安定領域とは何か
  - ・なぜビーム安定領域ができるのか
  - ・なぜビーム安定領域を広げないといけないのか

# 2 六極磁場が誘起する諸現象

- ・なぜ六極磁場が必要なのか
- ・なぜ六極磁場がビーム安定領域を狭めるのか
- ・非線形共鳴について
- ・振幅依存チューンについて
- ・非線形分散関数と非線形クロマティシティについて

# 六極磁場が誘起する共鳴の式(1/6)

#### <u>六極磁場がある時のベータトロン振動に関するハミルトニアン</u>



 $1. \quad x = \sqrt{\epsilon \beta} \cos \psi$ の $\psi$ を角変数として(x, x')を作用・角変数 $(\psi, I)$ に正準変換する。

$$F_{1}(x, \psi; s) = -\frac{\tan \psi + \alpha}{2\beta} x^{2}$$

$$x' = \frac{\partial F_{1}}{\partial x}$$

$$J = -\frac{\partial F_{1}}{\partial \psi}$$

$$H(\psi_{x}, J_{x}, \psi_{y}, J_{y}; s) = \frac{J_{x}}{\beta_{x}} + \frac{J_{y}}{\beta_{y}} + V(\psi_{x}, J_{x}, \psi_{y}, J_{y}; s)$$

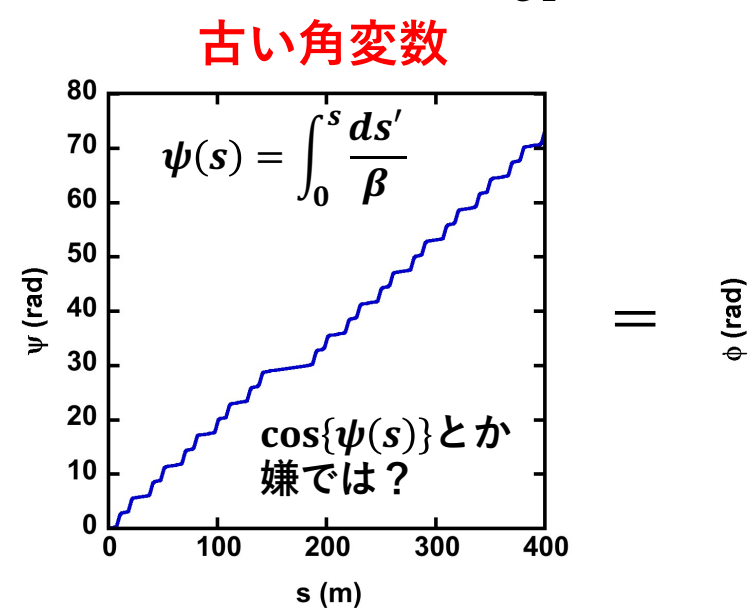
# 六極磁場が誘起する共鳴の式(2/6)

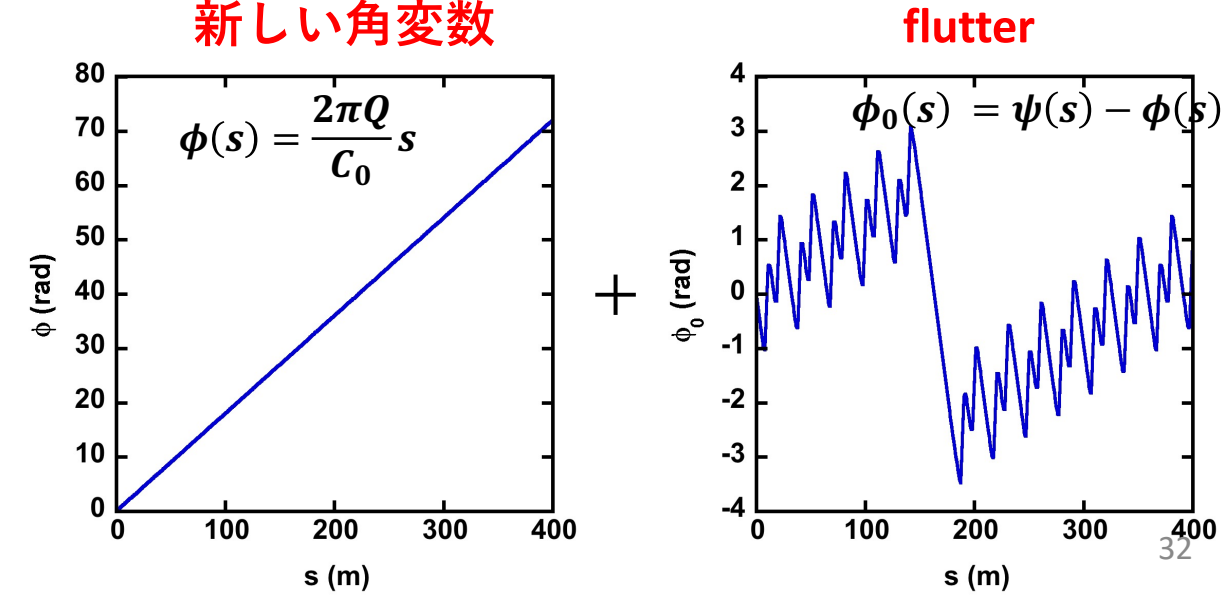
- 2.  $\psi(s) = \int_0^s \frac{ds'}{\beta}$ は独立変数sに対して線形に増加する関数ではないので扱いにくい。
  - $\rightarrow \psi$ を「独立変数sに対して線形に増加する関数 $\phi$ 」と「その差分 $\phi_0$ 」に 分解して、 $\phi$ を新しい角変数にする。新しい作用変数をI=Jとする。

$$F_2(\psi, I:s) = \left[\psi - \left(\int_0^s \frac{ds_1}{\beta} - \frac{2\pi Q_0}{C_0}s\right)\right]I$$
  $\begin{bmatrix}Q_0 & : \text{ Bare tune} \\ C_0 = 2\pi R:$ リングの周長

$$\phi = \frac{\partial F_2}{\partial I}$$

$$H(\phi_x, I_x, \phi_y, I_y; s) = \frac{Q_{x0}I_x}{R} + \frac{Q_{y0}I_y}{R} + V(\phi_x, I_x, \phi_y, I_y; s)$$





# 六極磁場が誘起する共鳴の式(3/6)

3. リングの周長は各施設で違うので、独立変数sは使いにくい。  $\rightarrow$  独立変数をθにしてリング1周を $0 \le \theta < 2\pi$ で表す(スケール変換)。

$$H(\phi_x, I_x, \phi_y, I_y; \theta) = Q_{x0}I_x + Q_{y0}I_y + U(\phi_x, I_x, \phi_y, I_y; \theta)$$

$$U(\phi_x, I_x, \phi_y, I_y; \theta) = RV(\phi_x, I_x, \phi_y, I_y; \theta)$$

- 4. ポテンシャルを
  - ・作用変数だけの関数
  - ・角変数だけの関数
  - ・独立変数だけの関数

(β関数、φ0、off-momentumを考える場合は分散関数が該当) に分離する。

$$U(\phi_x, I_x, \phi_y, I_y; \theta) = f(I_x, I_y)g(\phi_x, \phi_y)h(\theta)$$

5. 独立変数だけの関数をθでフーリエ級数展開する。

$$h(\theta) = a_0 + \sum a_k \cos(k\theta)$$

# 六極磁場が誘起する共鳴の式(4/6)

6. ポテンシャルが「角変数に関する三角関数」と「<u>独立変数に関する三角関数</u>」 の積になるので、積和の公式を使って角変数と独立変数をカップルさせる。

#### 六極磁場が作るポテンシャル

$$\begin{split} U(\phi_{x}, I_{x}, \phi_{y}, I_{y}; \theta) &= I_{x}^{3/2} \sum_{n} u_{3,0,n} \cos(3\phi_{x} - n\theta) \\ &+ I_{x}^{3/2} \sum_{n} u_{1,0,n,1} \cos(\phi_{x} - n\theta) \\ &+ I_{x}^{1/2} I_{y} \sum_{n} u_{1,2,n} \cos(\phi_{x} + 2\phi_{y} - n\theta) \\ &+ I_{x}^{1/2} I_{y} \sum_{n} u_{1,-2,n} \cos(\phi_{x} - 2\phi_{y} - n\theta) \\ &+ I_{x}^{1/2} I_{y} \sum_{n} u_{1,0,n,2} \cos(\phi_{x} - n\theta) \end{split}$$

# 六極磁場が誘起する共鳴の式(5/6)

6. ポテンシャルが「角変数に関する三角関数」と「独立変数に関する三角関数」 の積に書けるので、積和の公式を使って角変数と独立変数をカップルさせる。

#### 六極磁石が作るポテンシャルの振幅

$$u_{3,0,k} = \frac{R}{48\pi} \int_{-\pi}^{\pi} d\theta \ k(\theta) \{ 2\beta_x(\theta) \}^{3/2} \cos\{ 3\phi_{x0}(\theta) + k\theta \}$$

$$u_{1,0,k,1} = \frac{R}{16\pi} \int_{-\pi}^{\pi} d\theta \ k(\theta) \{2\beta_x(\theta)\}^{3/2} \cos\{\phi_{x0}(\theta) + k\theta\}$$

$$u_{1,\pm 2,k} = -\frac{R}{8\pi} \int_{-\pi}^{\pi} d\theta \ k(\theta) \beta_y(\theta) \sqrt{2\beta_x(\theta)} \cos\{\phi_{x0}(\theta) \pm 2\phi_{y0}(\theta) + k\theta\}$$

$$u_{1,0,k,2} = -\frac{R_0}{4\pi} \int_{-\pi}^{\pi} d\theta \, k(\theta) \beta_y(\theta) \sqrt{2\beta_x(\theta)} \cos\{\phi_{x0}(\theta) + k\theta\}$$

# 六極磁場が誘起する共鳴の式(6/6)

例えば

$$H(\phi_x, I_x; \theta) = Q_{x0}I_x + I_x^{3/2}u_{3,0,n}\cos(3\phi_x - n\theta)$$

について、正準方程式

$$\frac{dI_x}{d\theta} = -\frac{\partial H}{\partial \phi_x} = -3I_x^{3/2} u_{3,0,n} \sin(3\phi_x - n\theta)$$

から

$$\frac{d}{d\theta}(3\phi_x - n\theta) = 3Q_x - n = 0$$

を満たすとき、 $\sin(3\phi_x - n\theta) = int$ . になるので、 $I_x \propto \theta$ で増加する  $\Rightarrow 3Q_x - n = 0$ を共鳴条件とみなせる。

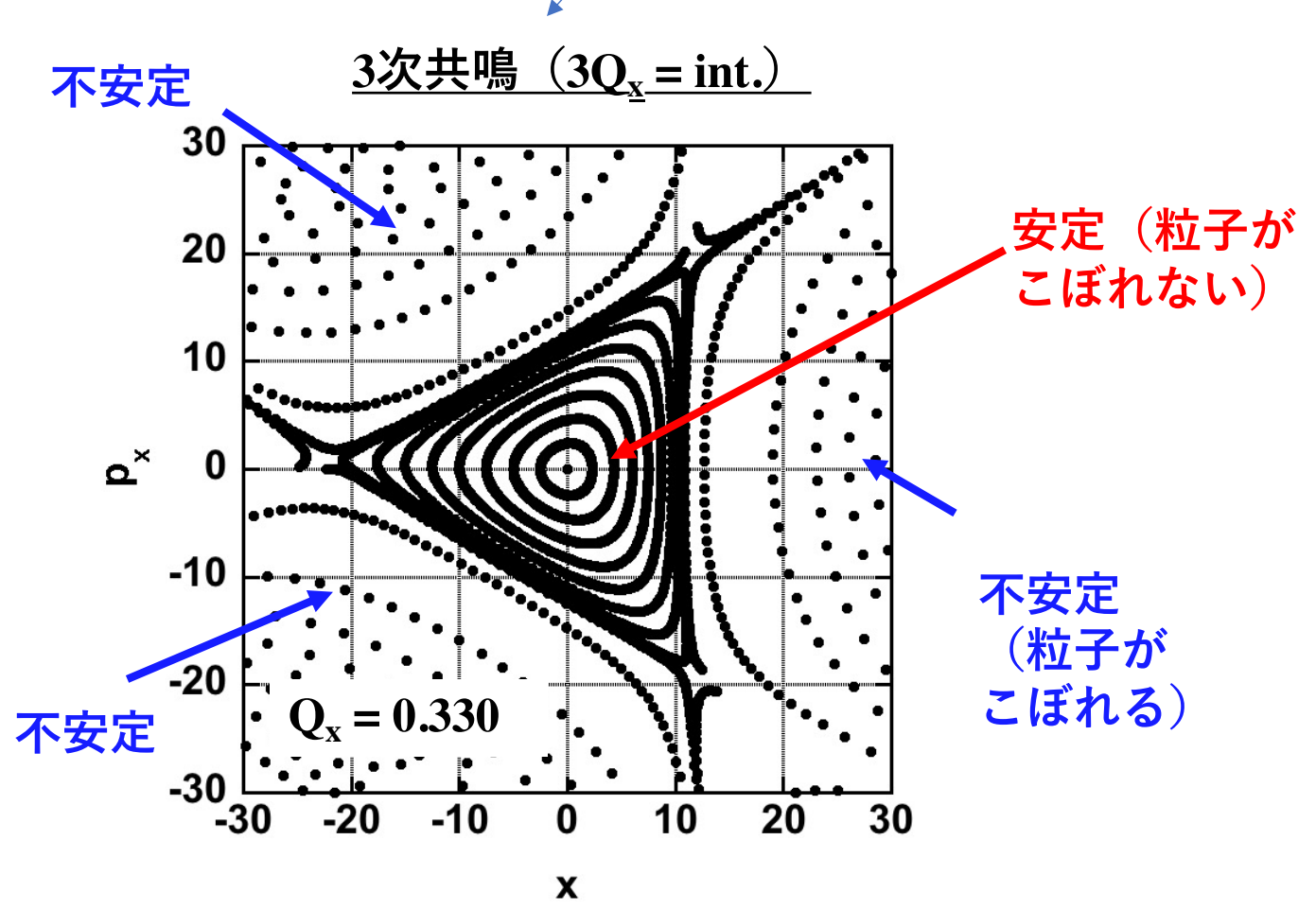
同様に、六極磁場がある時は $oldsymbol{Q}_x=oldsymbol{n}$ 、  $oldsymbol{Q}_x\pm 2oldsymbol{Q}_y=oldsymbol{n}$ が共鳴条件となる。

### 六極磁場がある時の運動:非線形共鳴(1/3)

$$H = H_0 + \frac{k}{6} \left( x^3 - 3xy^2 \right)$$

$$x = \sqrt{\varepsilon_x \beta_x} \cos \psi_x$$

$$x^3 \propto \cos^3 \psi_x = \frac{1}{4} \{ \cos(3\psi_x) + 3\cos \psi_x \}$$

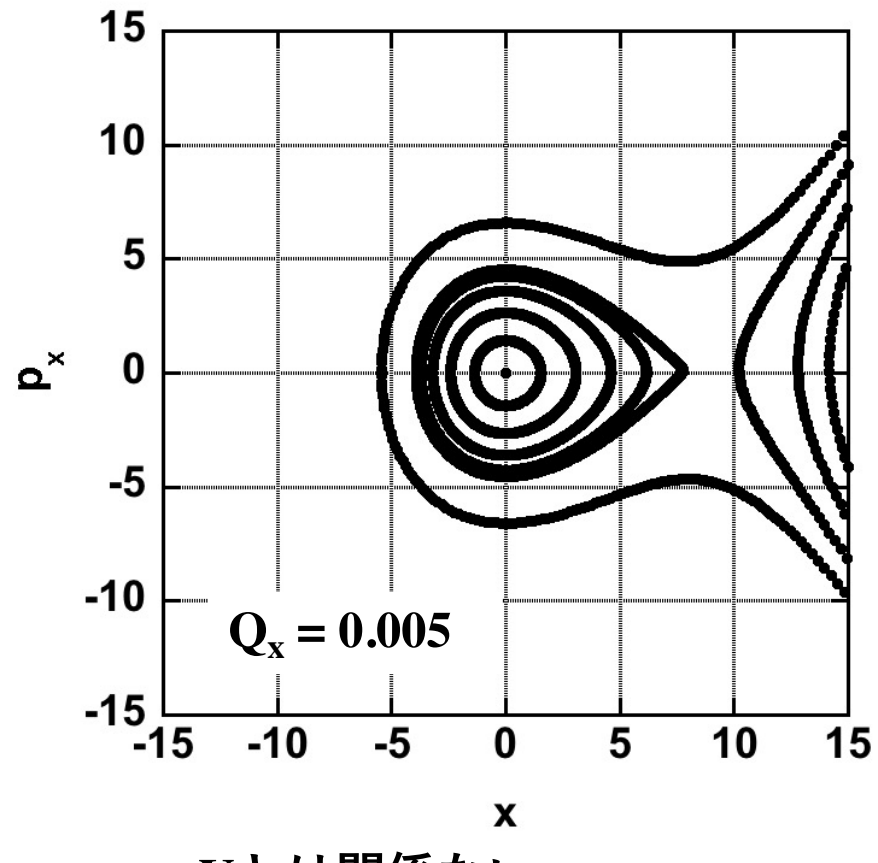


# 六極磁場がある時の運動:非線形共鳴(2/3)

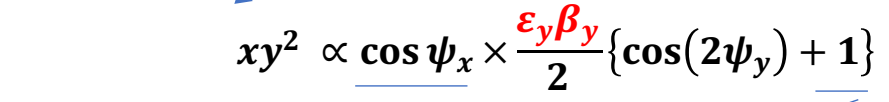
$$H=H_0+\frac{k}{6}(x^3-3xy^2)$$

$$x^3 \propto \cos^3 \psi_x = \frac{1}{4} \{ \cos(3\psi_x) + 3 \underline{\cos \psi_x} \}$$

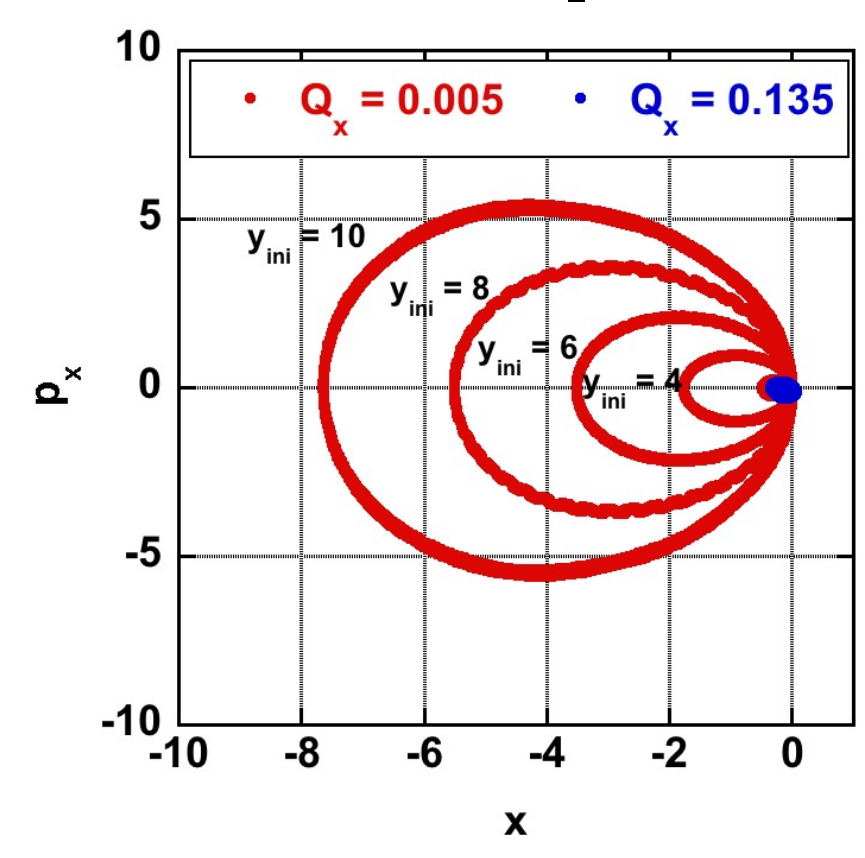
### 整数共鳴 $(Q_x = int.)$



Yとは関係ない



### 整数共鳴 $(Q_x = int.)$



Yが大きいほど影響が大きい

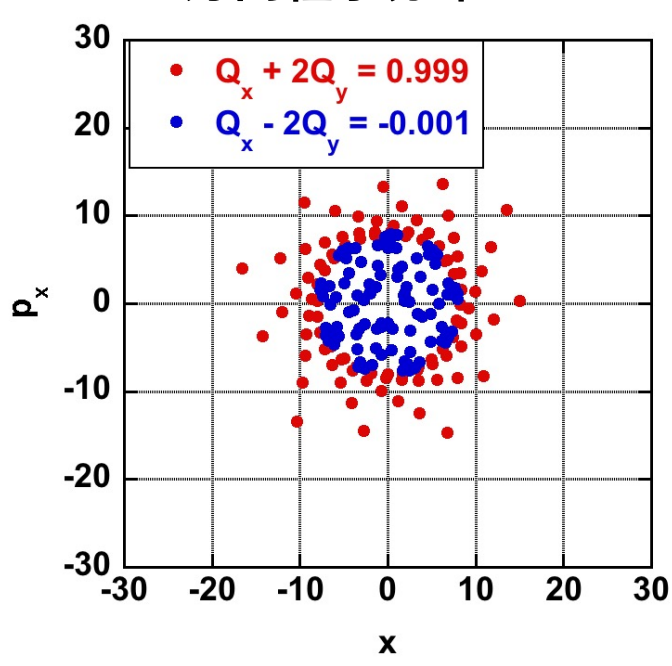
### 六極磁場がある時の運動:非線形共鳴(3/3)

$$H = H_0 + \frac{k}{6} \left( x^3 - 3xy^2 \right)$$

$$xy^2 \propto \left\{ \cos \psi_x \cos(2\psi_y) + \cos \psi_x \right\}$$

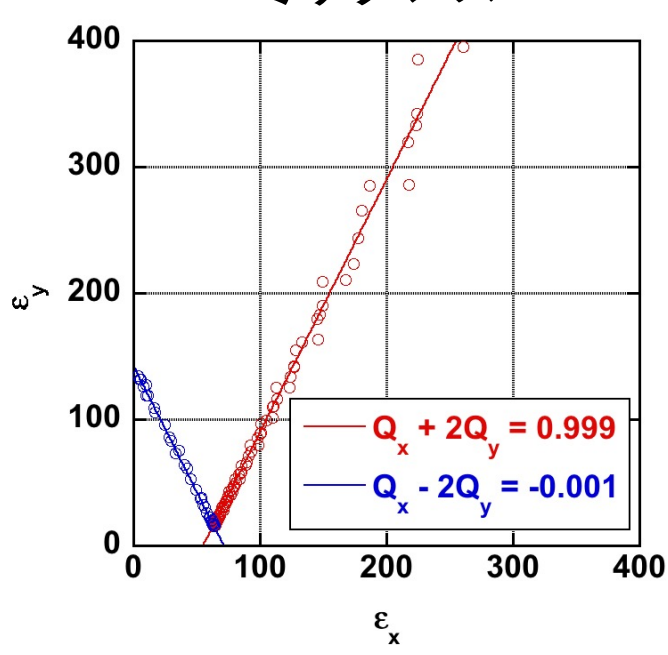
$$\cos \psi_x \cos(2\psi_y) = \frac{1}{2} \left\{ \cos(\psi_x + 2\psi_y) + \cos(\psi_x - 2\psi_y) \right\}$$
結合共鳴  $\left( \mathbf{Q}_{\underline{x}} \pm 2\mathbf{Q}_{\underline{y}} = \mathbf{int.} \right)$ 

#### X方向粒子分布



結合共鳴が起きると エミッタンスのやりとりを行う

#### エミッタンス



$$Q_x \pm 2Q_y = int$$
.の場合、 $2\varepsilon_x \mp \varepsilon_y = int$ .がconstant of motionになる。

# 共鳴を補正するとは

共鳴を誘起しているポテンシャルの振幅が小さくなるように 六極磁場(k)を決定すれば良い

$$u_{3,0,k} = \frac{R}{48\pi} \int_{-\pi}^{\pi} d\theta \ k(\theta) \{2\beta_x(\theta)\}^{3/2} \cos\{3\phi_{x0}(\theta) + k\theta\}$$

$$u_{1,0,k,1} = \frac{R}{16\pi} \int_{-\pi}^{\pi} d\theta \, k(\theta) \{2\beta_x(\theta)\}^{3/2} \cos\{\phi_{x0}(\theta) + k\theta\}$$

$$u_{1,\pm 2,k} = -\frac{R}{8\pi} \int_{-\pi}^{\pi} d\theta \, k(\theta) \beta_y(\theta) \sqrt{2\beta_x(\theta)} \cos\{\phi_{x0}(\theta) \pm 2\phi_{y0}(\theta) + k\theta\}$$

$$u_{1,0,k,2} = -\frac{R_0}{4\pi} \int_{-\pi}^{\pi} d\theta \, k(\theta) \beta_y(\theta) \sqrt{2\beta_x(\theta)} \cos\{\phi_{x0}(\theta) + k\theta\}$$

### 前半の概要:

- 1 非線形オプティクス設計とは
  - ・ビーム安定領域とは何か
  - ・なぜビーム安定領域ができるのか
  - ・なぜビーム安定領域を広げないといけないのか

### 2 六極磁場が誘起する諸現象

- ・なぜ六極磁場が必要なのか
- ・なぜ六極磁場がビーム安定領域を狭めるのか
- ・非線形共鳴について
- ・振幅依存チューンについて
- ・非線形分散関数と非線形クロマティシティについて

### 六極磁場が誘起する諸現象

六極磁場 に対して 1次の式

- 1 1次のクロマティシティ  $(\Delta Q = \xi_0 \delta)$
- 2 非線形共鳴(Q<sub>x</sub> ~ int., 3Q<sub>x</sub> = int., Q<sub>x</sub> ± 2Q<sub>v</sub> ~ int.)
- 3 2次の分散関数  $(\Delta x = D_1 \delta^2)$ 
  - H. Tanaka et al., NIMA 431 (1999), 396-408.
- 4 振幅依存center shift
  Y.Shoji, M.Takao, and T.Nakamura, PRSTAB 17 064001 (2014).

六極磁場 に対して 2次の式

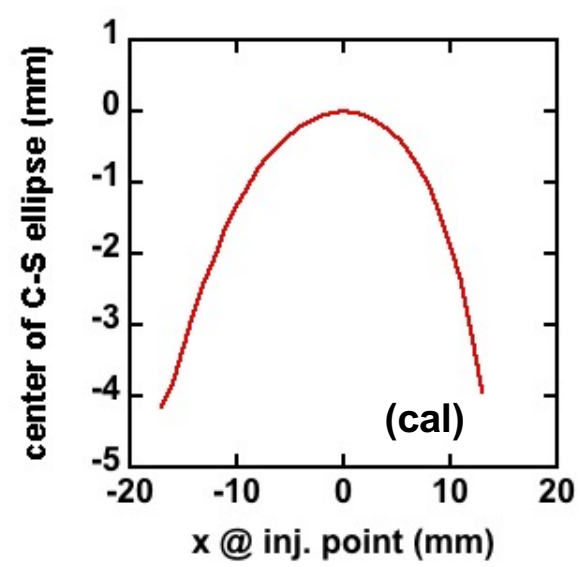
5 振幅依存チューンシフト

K.Soutome and H.Tanaka, PRAB 20, 064001 (2017).

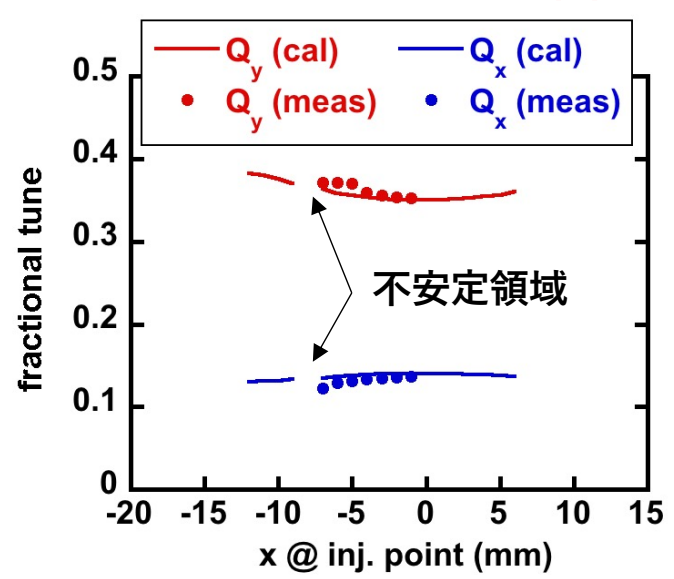
**6 2次のクロマティシティ(ΔQ = ξ<sub>1</sub>δ²)** 

M. Takao, PRE 72, 046502 (2005).

#### 振幅依存center shift



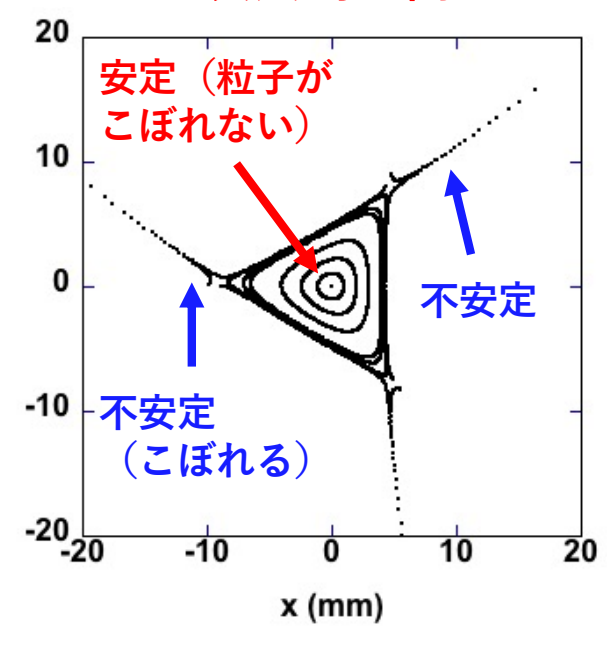
#### 振幅依存チューン(x)



(Q<sub>x</sub>, Q<sub>y</sub>):チューン

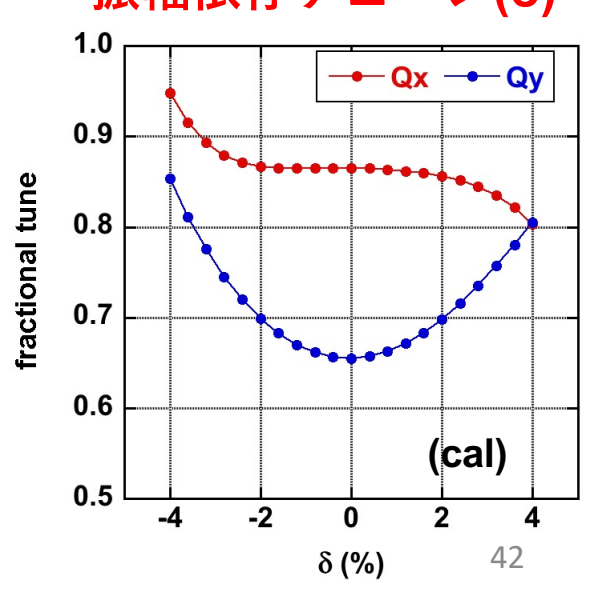
δ:運動量偏差

#### 3次共鳴の例



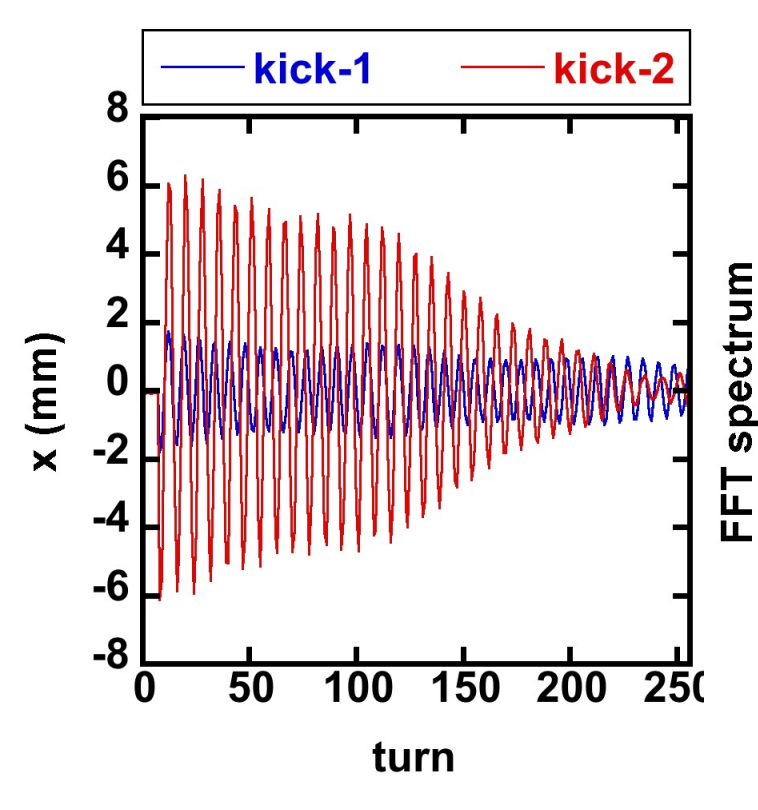
(mrad)

#### 振幅依存チューン(δ)

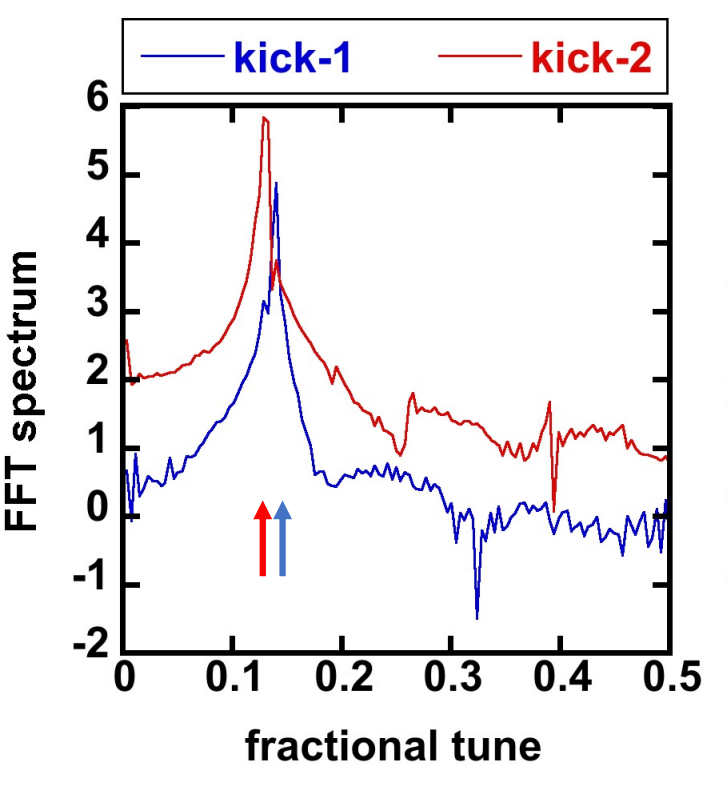


### 振幅依存チューンについて

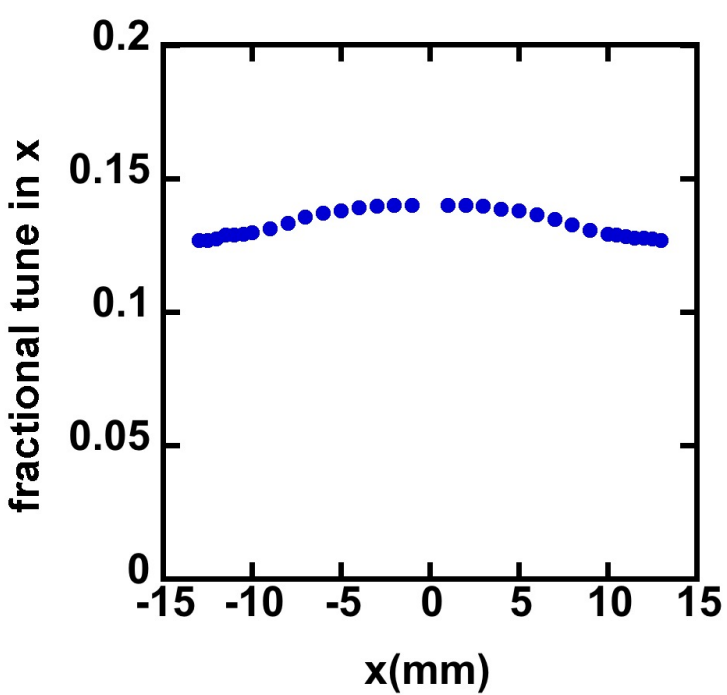
(測定)キッカー電磁石で ビームを蹴った時の turn-by-turn BPMの信号



(測定) Turn-by-turn BPM の信号をFFTにかけた時の スペクトル



(測定) キッカー電磁石の 蹴り角を変えながら チューンをプロット



小振幅:設計チューンに近い

大振幅:設計チューンからずれる

= 共鳴にかかりやすくなるので

補正が必要になる

/: 作用変数

 $Q_0$ : Bare tune

### 振幅依存チューンについて

### 最低次の振幅依存チューン:

$$Q_x = Q_{x0} + \alpha_{xx}I_x + \alpha_{xy}I_y$$

$$Q_{y} = Q_{y0} + \alpha_{xy}I_{x} + \alpha_{yy}I_{y}$$

ハミルトニアン 
$$H=H_0+\frac{k}{6}(x^3-3xy^2)$$

「振動しない項」と「振動する項」がある。

「振動しない項」をゼロにすると

振幅依存チューンが出る。

K.Soutome and H.Tanaka, PRAB 20, 064001 (2017).

$$\alpha_{xx} = -\frac{1}{64\pi} \oint ds_1 \oint ds_2 \frac{k(s_1)k(s_2)}{\beta_x^{3/2}} \beta_x^{3/2}(s_1) \beta_x^{3/2}(s_2) \times \left[ \frac{\cos\{3(\pi Q_{x0} - [\psi_x(s_1) - \psi_x(s_2)])\}}{\sin(3\pi Q_{x0})} + 3 \frac{\cos(\pi Q_{x0} - [\psi_x(s_1) - \psi_x(s_2)])}{\sin(\pi Q_{x0})} \right]$$

$$\begin{split} \alpha_{xy} &= -\frac{1}{32\pi} \oint ds_1 \oint ds_2 \, k(s_1) k(s_2) \beta_x^{1/2}(s_1) \beta_x^{1/2}(s_2) \beta_y \, (s_1) \beta_y \, (s_2) \\ &\times \left[ \frac{\cos\{\pi(Q_{x0} + 2Q_{y0}) - [\psi_x(s_1) - \psi_x(s_2)] - 2[\psi_y(s_1) - \psi_y(s_2)]\}}{\sin\{\pi(Q_{x0} + 2Q_{y0})\}} + \frac{\cos\{\pi(Q_{x0} - 2Q_{y0}) - [\psi_x(s_1) - \psi_x(s_2)] + 2[\psi_y(s_1) - \psi_y(s_2)]\}}{\sin\{\pi(Q_{x0} - 2Q_{y0})\}} \right] \\ &+ \frac{1}{16\pi} \oint ds_1 \oint ds_2 \, S(s_1) S(s_2) \beta_x^{3/2}(s_1) \beta_x^{1/2}(s_2) \beta_y \, (s_2) \frac{\cos(\pi Q_{x0} - [\psi_x(s_1) - \psi_x(s_2)])}{\sin(\pi Q_{x0})} \end{split}$$

$$\alpha_{yy} = -\frac{1}{64\pi} \oint ds_1 \oint ds_2 \frac{k(s_1)k(s_2)\beta_x^{1/2}(s_1)\beta_x^{1/2}(s_2)\beta_y}{\sin\{\pi(Q_{x0} + 2Q_{y0})\}} + \frac{\cos\{\pi(Q_{x0} + 2Q_{y0}) - [\psi_x(s_1) - \psi_x(s_2)] + 2[\psi_y(s_1) - \psi_y(s_2)]\}}{\sin\{\pi(Q_{x0} + 2Q_{y0})\}} + \frac{\cos\{\pi(Q_{x0} - 2Q_{y0}) - [\psi_x(s_1) - \psi_x(s_2)] + 2[\psi_y(s_1) - \psi_y(s_2)]\}}{\sin\{\pi(Q_{x0} - 2Q_{y0})\}} + \frac{\cos\{\pi(Q_{x0} - 2Q_{y0}) - [\psi_x(s_1) - \psi_x(s_2)] + 2[\psi_y(s_1) - \psi_y(s_2)]\}}{\sin\{\pi(Q_{x0} - 2Q_{y0})\}}$$

### 振幅依存チューンを補正するとは

#### $\alpha_{xx}$ , $\alpha_{xy}$ , $\alpha_{yy}$ が小さくなるように 六極磁場(h)を決定すれば良い

「 $\alpha_{xx}$ ,  $\alpha_{xy}$ ,  $\alpha_{yy}$ が小さくなるような 六極磁場(k)の解析値」を シミュレーションに入力、 シミュレーション結果の  $\alpha_{xx}$ ,  $\alpha_{xy}$ ,  $\alpha_{yy}$ と解析結果と一致した。

#### =解析式を使って補正できる

$$\alpha_{xx} = -\frac{1}{64\pi} \oint ds_1 \oint ds_2 \frac{k(s_1)k(s_2)\beta_x^{3/2}(s_1)\beta_x^{3/2}(s_2)}{\sin(3\pi Q_{x0})} + 3 \frac{\cos(\pi Q_{x0} - [\psi_x(s_1) - \psi_x(s_2)])}{\sin(\pi Q_{x0})} \right]$$

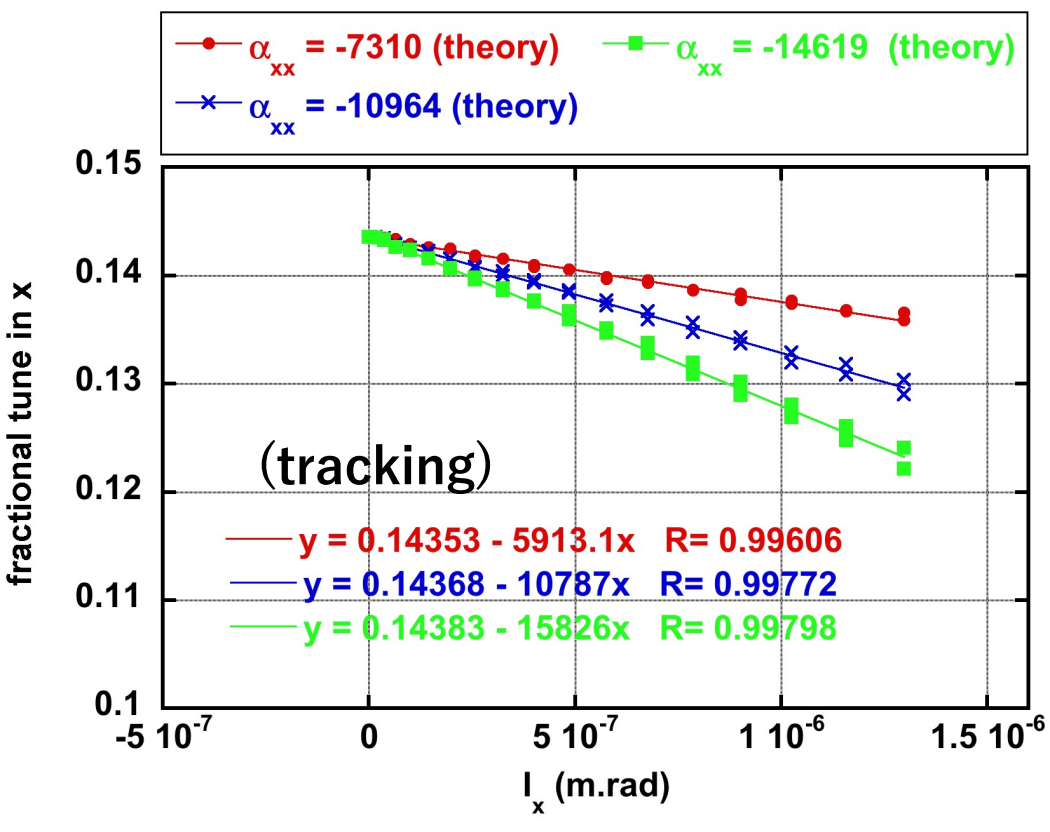
$$\alpha_{xy} = -\frac{1}{32\pi} \oint ds_1 \oint ds_2 \frac{k(s_1)k(s_2)}{k(s_1)k(s_2)} \beta_x^{1/2}(s_1) \beta_x^{1/2}(s_2) \beta_y (s_1) \beta_y$$

$$\times \left[ \frac{\cos\{\pi(Q_{x_0} + 2Q_{y_0}) - [\psi_x(s_1) - \psi_x(s_2)] - 2[\psi_y(s_1) - \psi_y(s_2)]\}}{\sin\{\pi(Q_{x_0} + 2Q_{y_0})\}} + \frac{\cos\{\pi(Q_{x_0} - 2Q_{y_0}) - [\psi_x(s_1) - \psi_x(s_2)] + 2[\psi_y(s_1) - \psi_y(s_2)]\}}{\sin\{\pi(Q_{x_0} - 2Q_{y_0})\}} \right]$$

$$+ \frac{1}{16\pi} \oint ds_1 \oint ds_2 S(s_1) S(s_2) \beta_x^{3/2}(s_1) \beta_x^{1/2}(s_2) \beta_y (s_2) \frac{\cos(\pi Q_{x_0} - [\psi_x(s_1) - \psi_x(s_2)])}{\sin(\pi Q_{x_0})}$$

$$\begin{split} \alpha_{yy} &= -\frac{1}{64\pi} \oint ds_1 \oint ds_2 \, \frac{k(s_1)k(s_2)\beta_x^{1/2}(s_1)\beta_x^{1/2}(s_2)\beta_y \, \left(s_1\right)\beta_y \, \left(s_2\right)}{\times \left[\frac{\cos\{\pi(Q_{x0}+2Q_{y0})-[\psi_x(s_1)-\psi_x(s_2)]-2[\psi_y(s_1)-\psi_y(s_2)]\}}{\sin\{\pi(Q_{x0}+2Q_{y0})\}} + \frac{\cos\{\pi(Q_{x0}-2Q_{y0})-[\psi_x(s_1)-\psi_x(s_2)]+2[\psi_y(s_1)-\psi_y(s_2)]\}}{\sin\{\pi(Q_{x0}-2Q_{y0})\}} + \frac{1}{\sin\{\pi(Q_{x0}-2Q_{y0})\}} \\ &+ 4\frac{\cos(\pi Q_{x0}-[\psi_x(s_1)-\psi_x(s_2)])}{\sin(\pi Q_{x0})} \right] \end{split}$$

#### 振幅依存チューンの補正(計算)



### 前半の概要:

- 1 非線形オプティクス設計とは
  - ・ビーム安定領域とは何か
  - ・なぜビーム安定領域ができるのか
  - ・なぜビーム安定領域を広げないといけないのか

### 2 六極磁場が誘起する諸現象

- ・なぜ六極磁場が必要なのか
- ・なぜ六極磁場がビーム安定領域を狭めるのか
- ・非線形共鳴について
- ・振幅依存チューンについて
- ・非線形分散関数と非線形クロマティシティについて

### 六極磁場が誘起する諸現象

六極磁場 に対して 1次の式

- 1 1次のクロマティシティ  $(\Delta Q = \xi_0 \delta)$
- 2 非線形共鳴(Q<sub>x</sub>~int., 3Q<sub>x</sub>=int., Q<sub>x</sub>±2Q<sub>v</sub>~int.)
- 3 2次の分散関数  $(\Delta x = D_1 \delta^2)$

H. Tanaka et al., NIMA 431 (1999), 396-408.

4 振幅依存center shift

Y.Shoji, M.Takao, and T.Nakamura, PRSTAB 17 064001 (2014).

六極磁場 に対して 2次の式

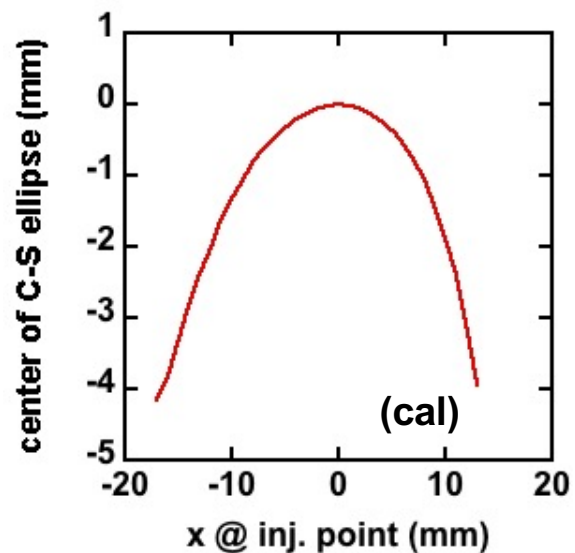
5 振幅依存チューンシフト

K.Soutome and H.Tanaka, PRAB 20, 064001 (2017).

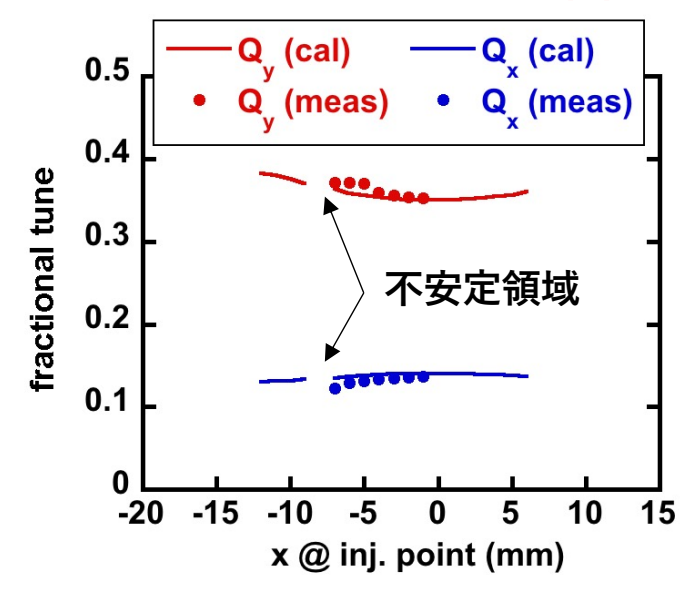
**6 2次のクロマティシティ(ΔQ = ξ<sub>1</sub>δ²)** 

M. Takao, PRE 72, 046502 (2005).

#### 振幅依存center shift



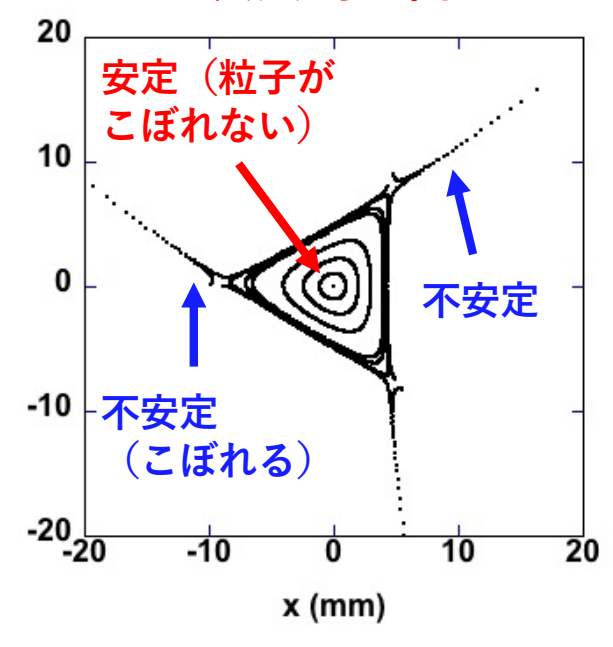
#### 振幅依存チューン(x)



(Q<sub>x</sub>, Q<sub>y</sub>):チューン

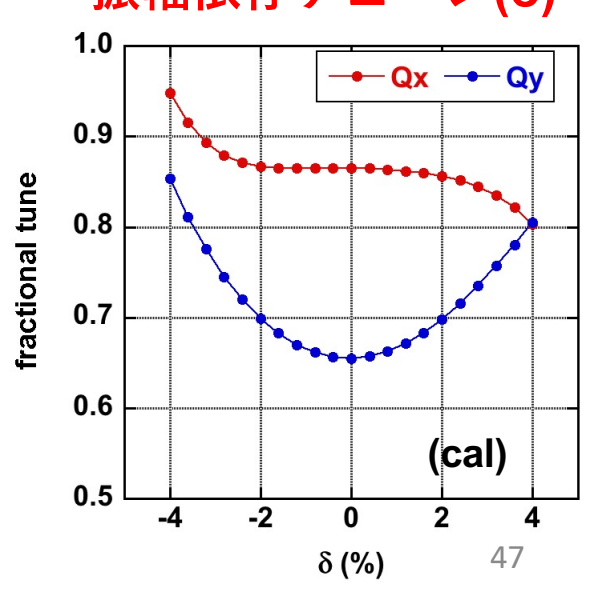
δ:運動量偏差

#### 3次共鳴の例



(mrad)

#### 振幅依存チューン(δ)



## 非線形分散関数と非線形クロマティシティの制御について

非線形クロマティシティ:  $\Delta Q = \xi_0 \delta + \xi_1 \delta^2 + \cdots$ 

赤は六極磁場を含む

非線形分散関数:

$$\Delta x = D_0 \delta + D_1 \delta^2 + \cdots$$

$$\xi_0 = \frac{1}{4\pi} \int \beta G_1 d\phi \qquad G_1 \propto kD_0$$

$$\frac{\xi_1}{4\pi} = \frac{1}{4\pi} \int \beta \frac{G_2}{G_2} d\phi + \frac{1}{4\pi \sin(2\pi Q)} \int \beta_1^2 \frac{G_1}{G_1} (\phi_1) d\phi_1 \int \beta_2^2 \frac{G_1}{G_1} (\phi_2) d\phi_2 \cos(2\pi Q - 2\phi_1 - 2\phi_2)$$

$$G_2 \propto kD_1(k)$$

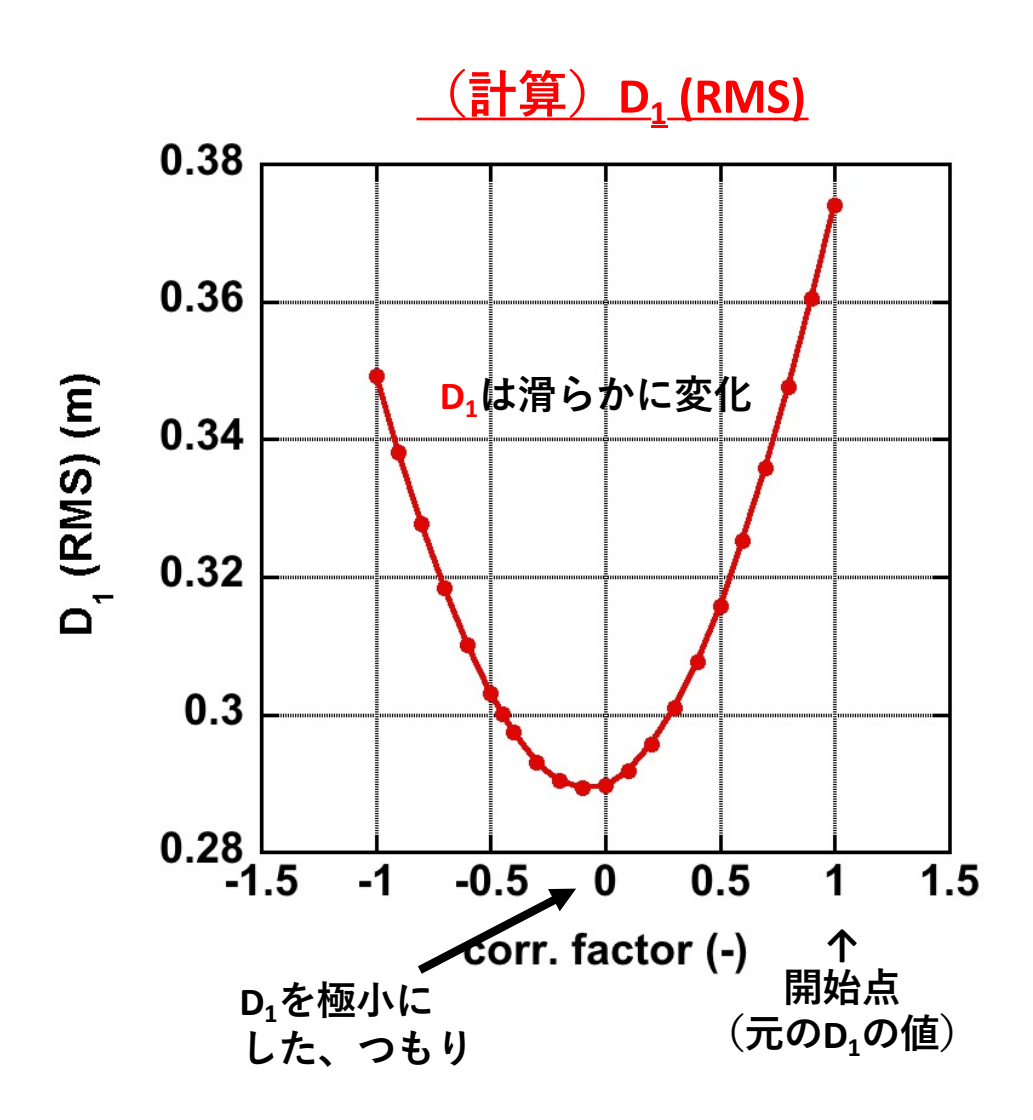
H.Tanaka et al., NIMA 431 (1999), 396-408.

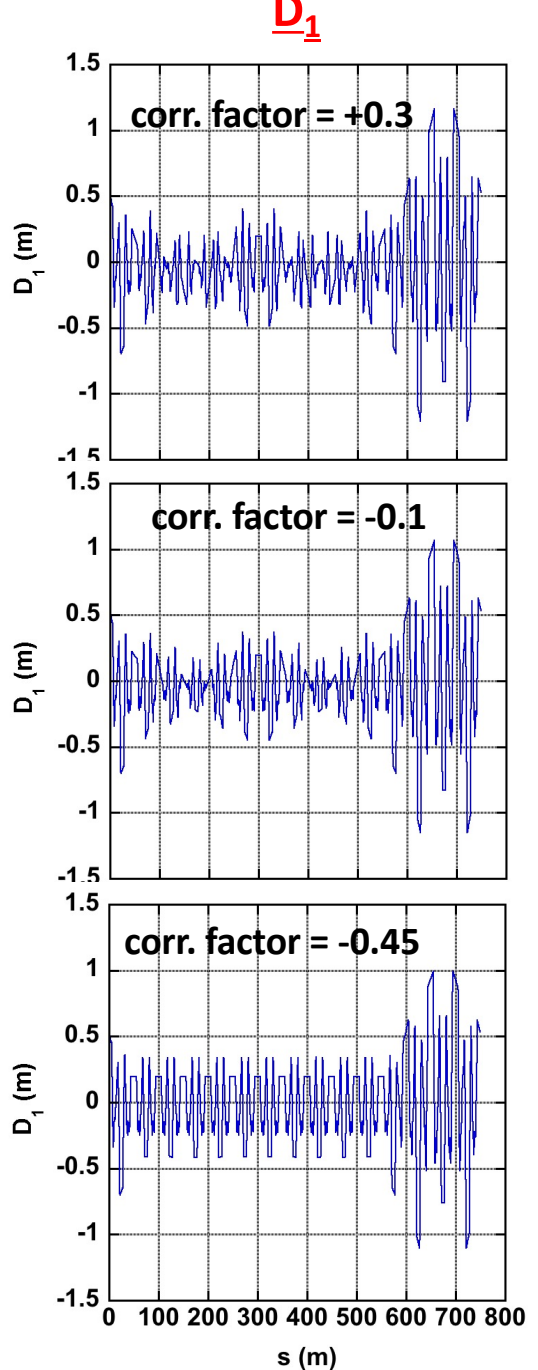
$$D''_{1} + \left(K_{x} + \frac{1}{\rho^{2}}\right)D_{1} = -\frac{1}{2}kD_{0}^{2} + K_{x}D_{0} - \frac{1}{\rho}\left(1 - \frac{1}{2}D'_{0}^{2} + K_{x}D_{0}^{2}\right) + \frac{2D_{0}}{\rho^{2}} - \frac{D_{0}^{2}}{\rho^{3}}$$

- ・<u>D<sub>1</sub>はk</u>について1次の式。CODの式と同じだと思えば、補正は簡単。
- ・ $\xi_1$ は $\underline{k}$ について2次の式。 
  「 $D_1$ を含む項」と「 $D_1$ を含まない項」の大きさのバランスで決まる。

 $D_1$ の大きさを六極磁場 (k)で制御することで  $\xi_1$ を制御できる。

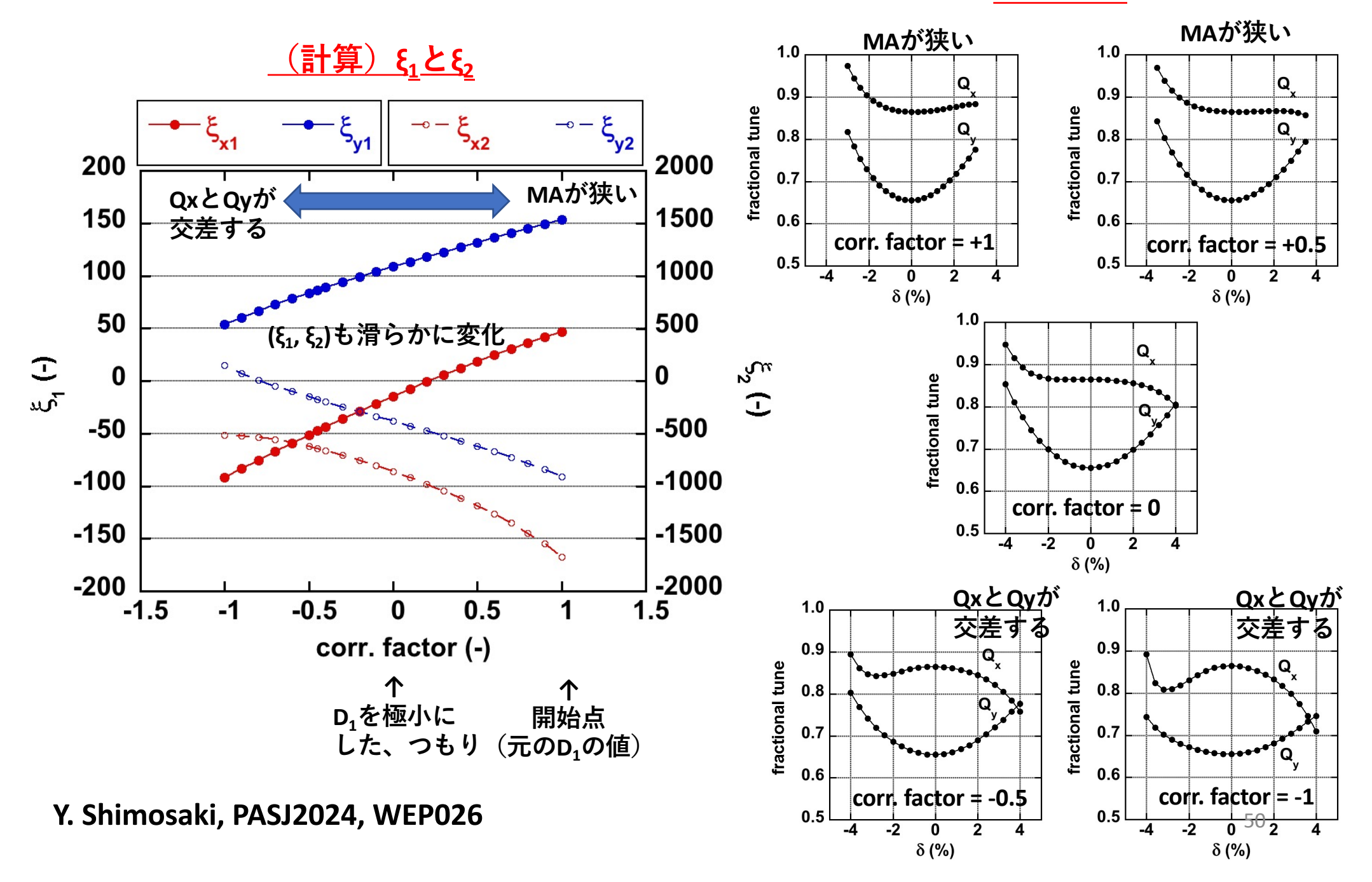
# 六極磁場によるD₁の制御





# <u>D₁の制御によるξ₁の制御</u>

#### Tune vs. δ



### 後半の概要

- 1 非線形オプティクス補正の方法について
- 2 非線形共鳴と振幅依存チューンを補正したら 入射効率が良くなった話(まずはお話のベースとして)
- 3 更に非線形共鳴と振幅依存チューンを補正したら 入射効率が悪化した話(振幅依存center shiftの補正について)
- 4 更にスキュー六極磁場が励起する非線形共鳴を ノーマル六極磁場で回避して入射効率が良くなった話
- 5 極低エミッタンス化に向けてのストラテジー